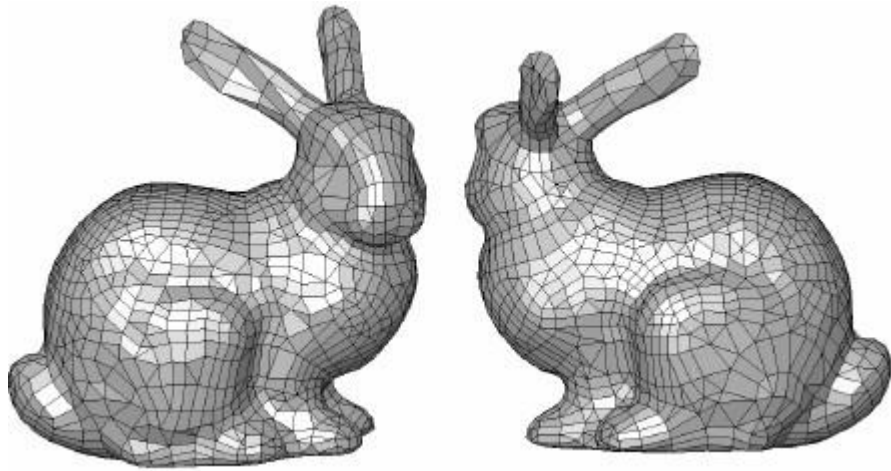


# Point Processing & Modeling

Source cours de Jean-Marc Thiery

<https://perso.telecom-paristech.fr/jthiery/>

# Representations de surfaces



# Opérations sur les points

- Recherche de voisinage
- Filtrage
- Rendu
- Définition de surface implicite
- Conversion en maillage triangulaire
- Enrichissement
- Recalage
- Édition / manipulation
- Coloriage
- ...



# Sources



LIDAR

Batiments, etc



# Sources



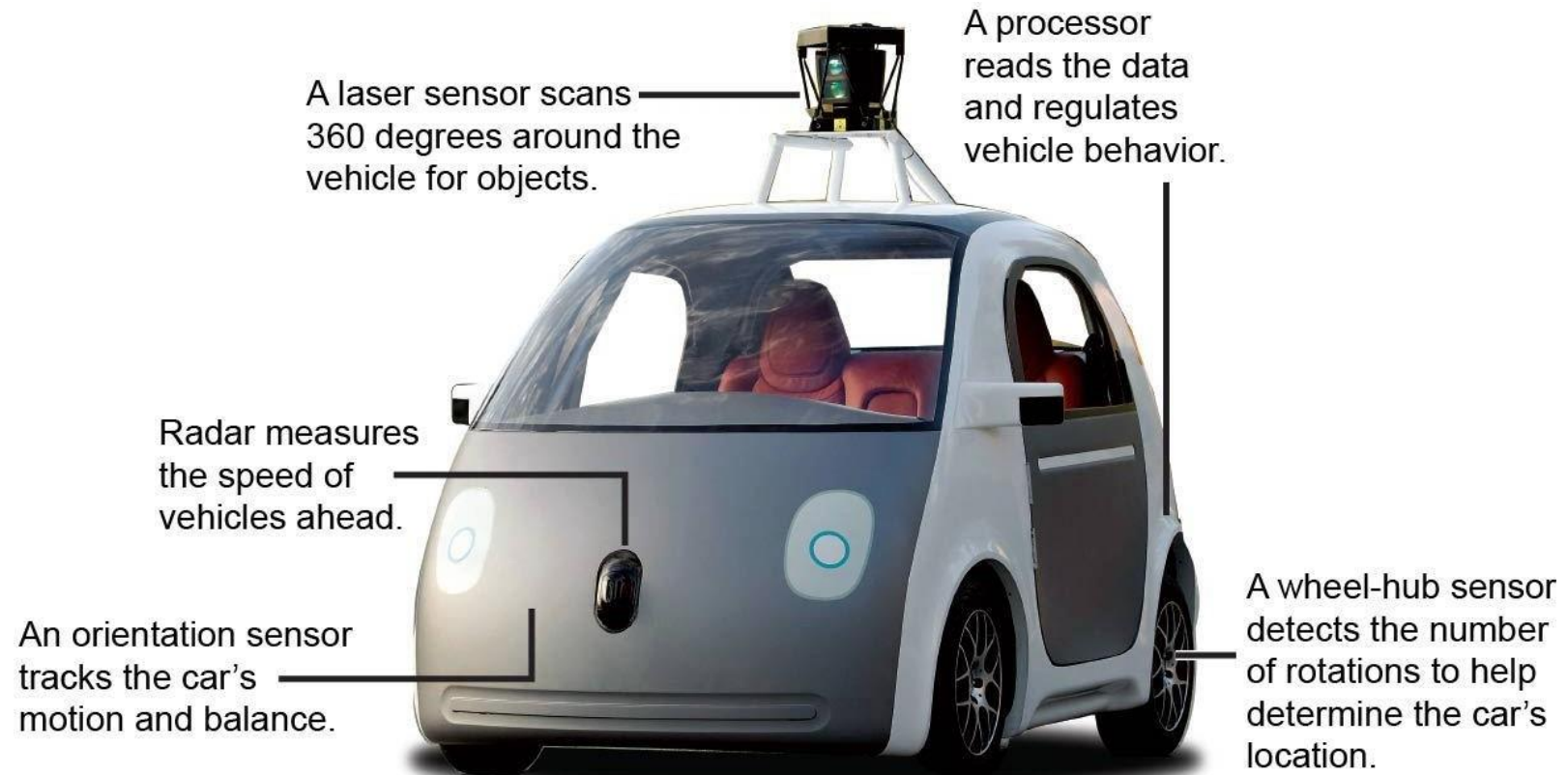
Table tournantes

# Sources



Kinect

# Sources

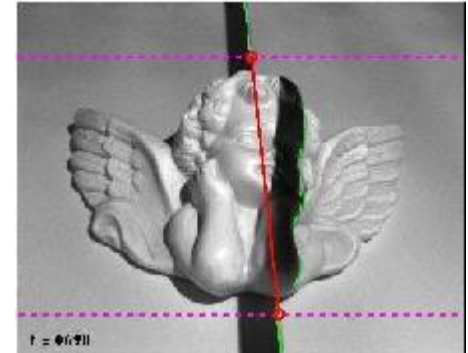
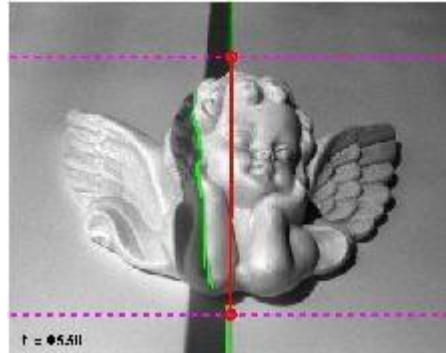


Source: Google

Raoul Rañoa / @latimesgraphics

Google car

# Sources



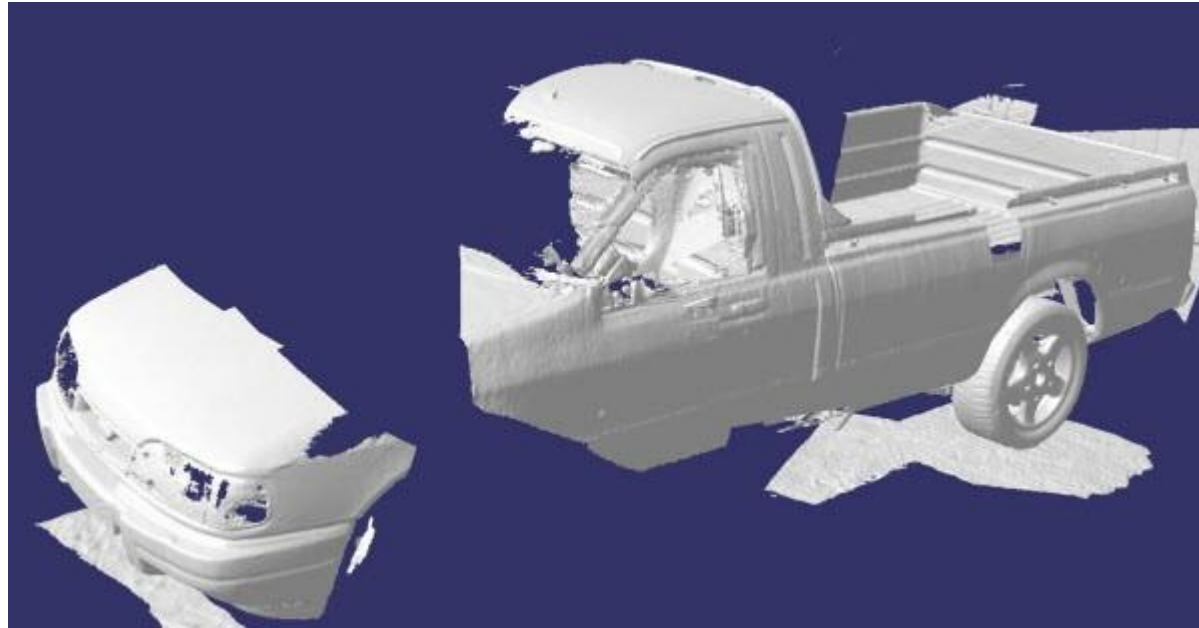
Système fait avec une lampe et un crayon...

<http://www.vision.caltech.edu/bouquetj/ICCV98/>





# Bruits et propriétés géométriques



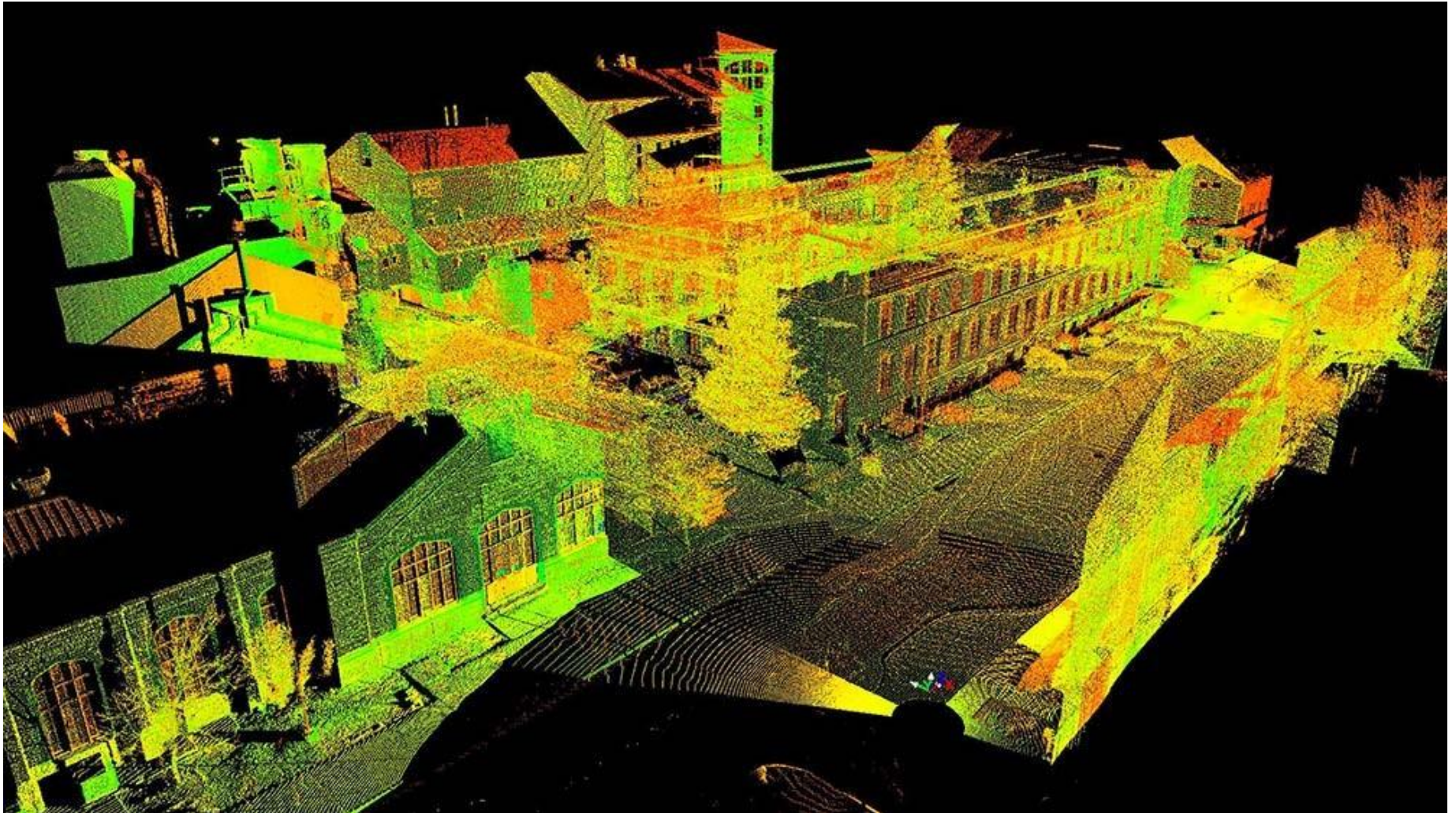
Occlusions, parties transparentes ou réfléchissantes

# Bruits et propriétés géométriques



Quantification, popping

# Bruits et propriétés géométriques



Direction du scan

<http://www.adamdealva.com/>



# Bruits et propriétés géométriques



# Bruits et propriétés géométriques

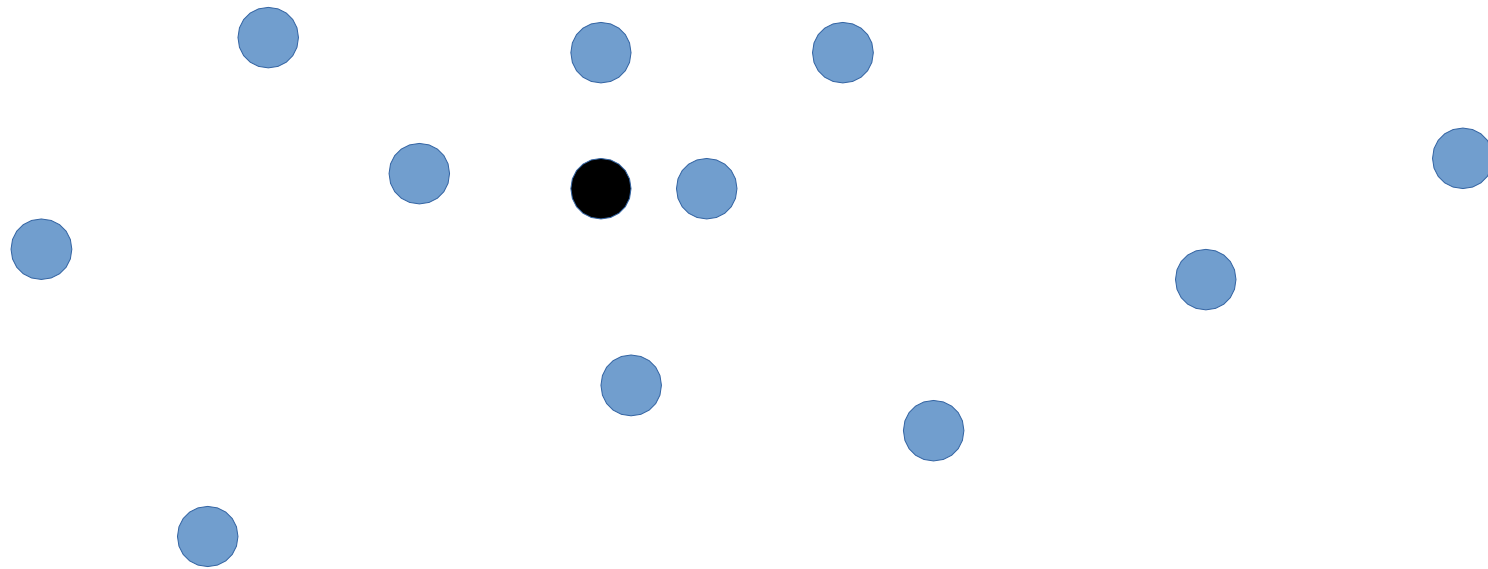
*Différents types de bruit, différents artifacts*



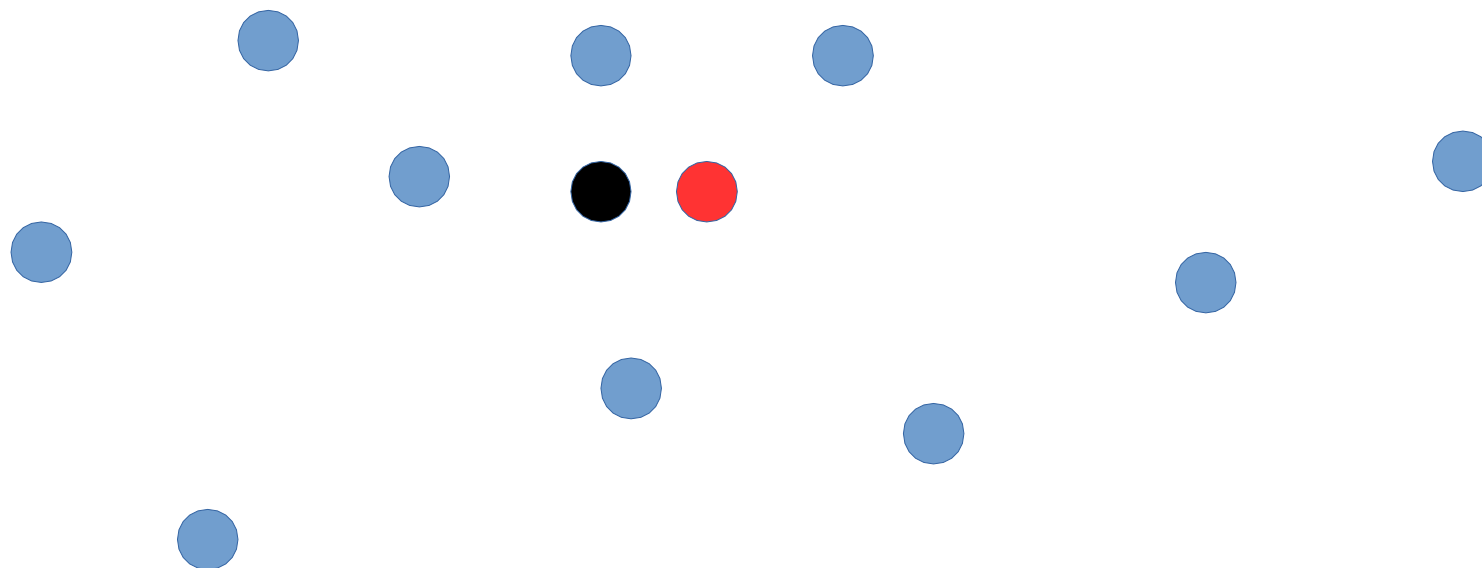
*Différents algorithmes de traitement*



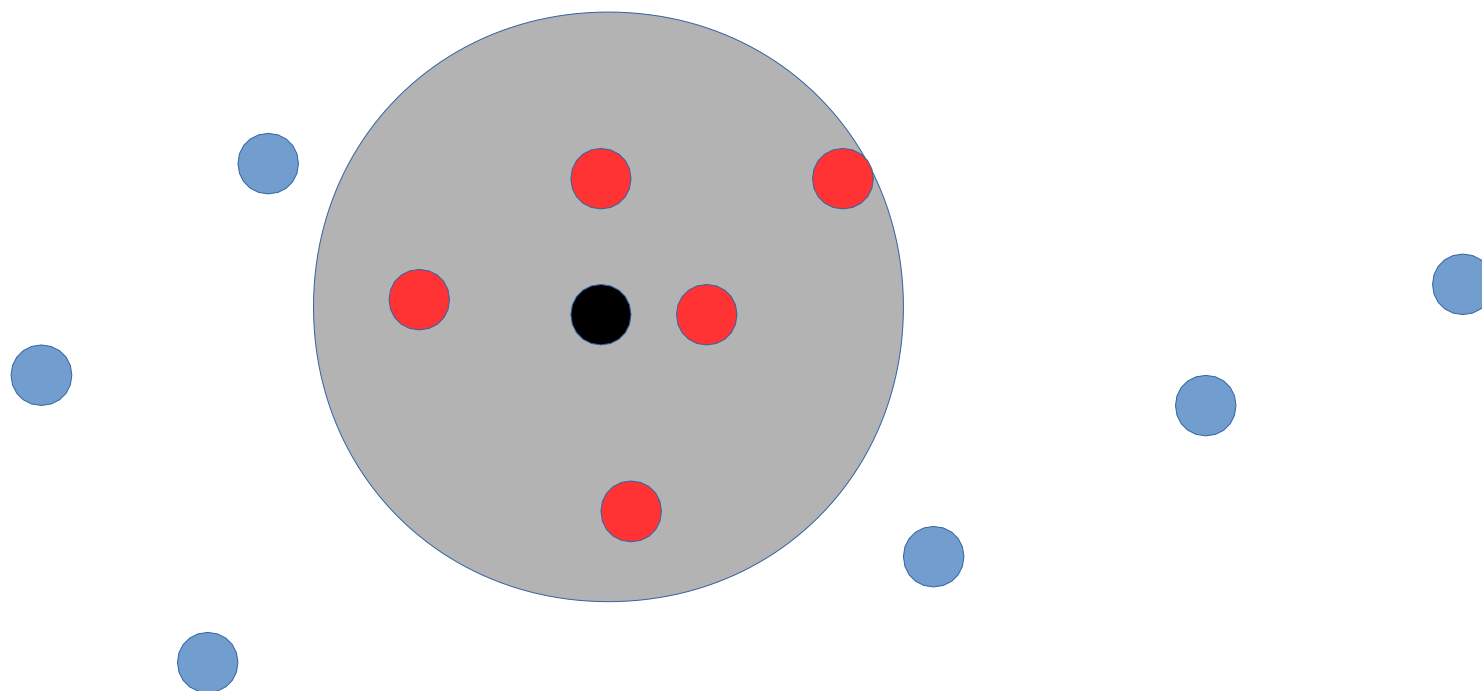
# Recherche de voisinages Euclidiens



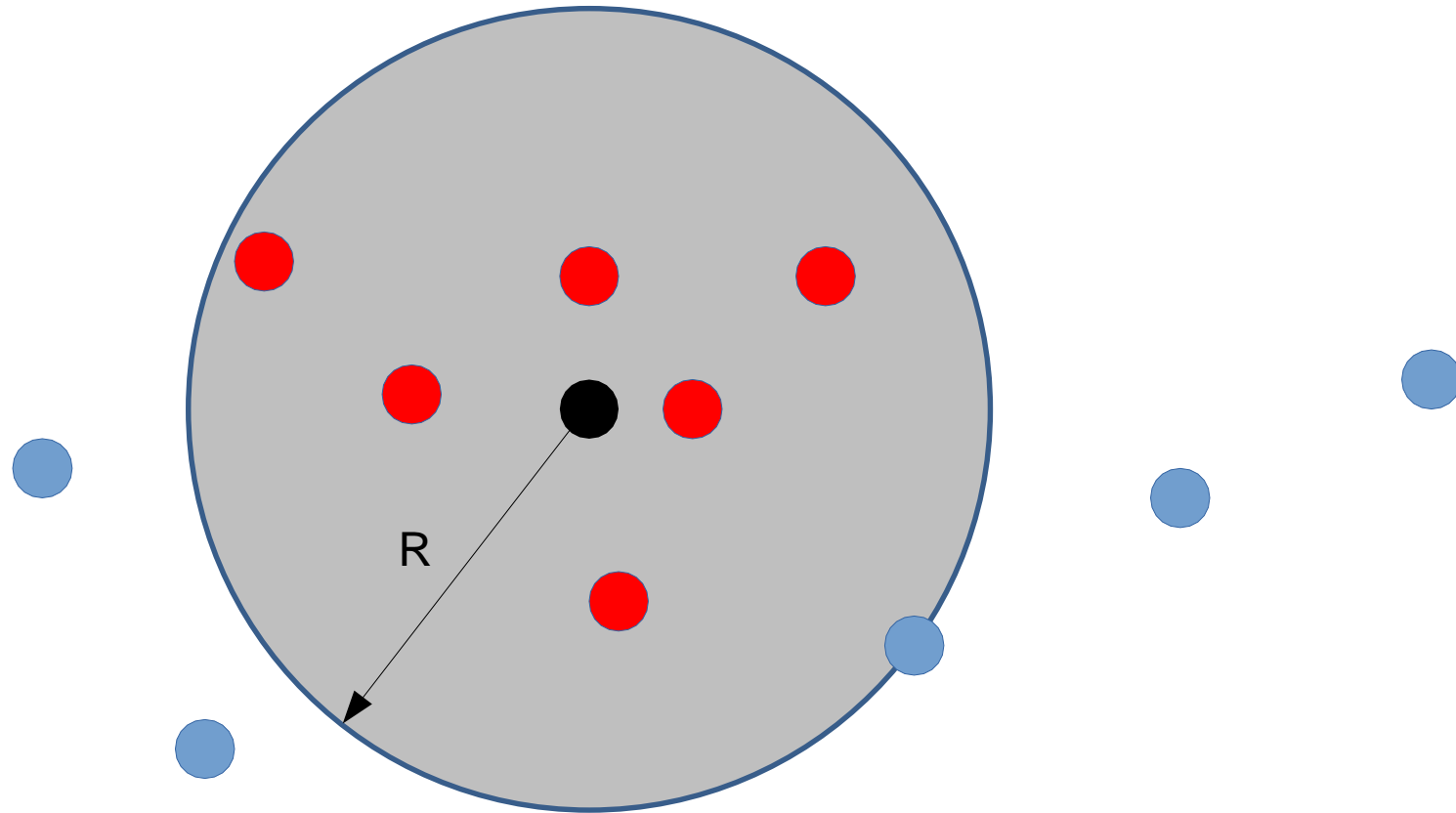
# Plus proche voisin



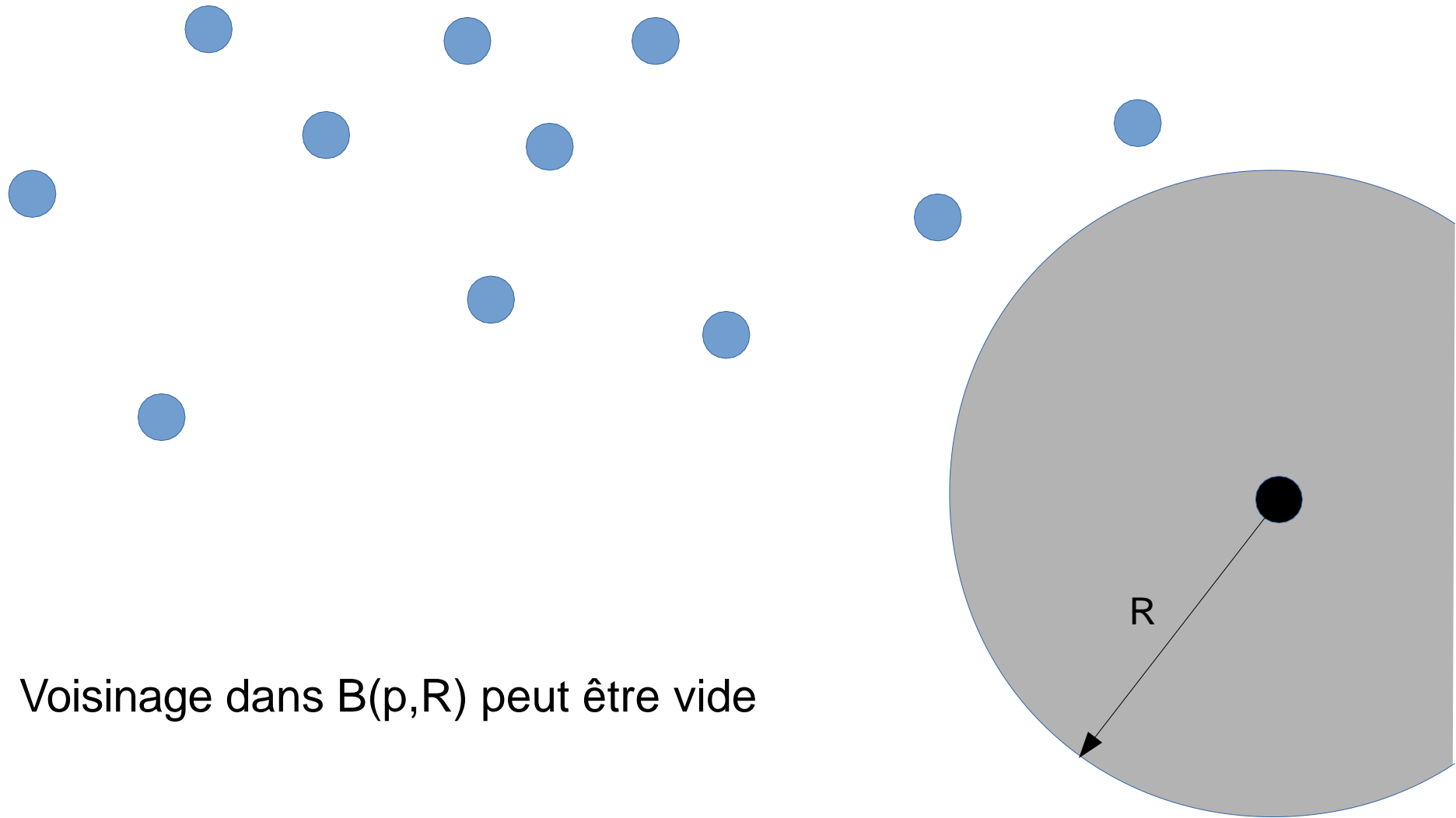
K (ici, 5) plus proches voisins



Voisins a distance  $< R$

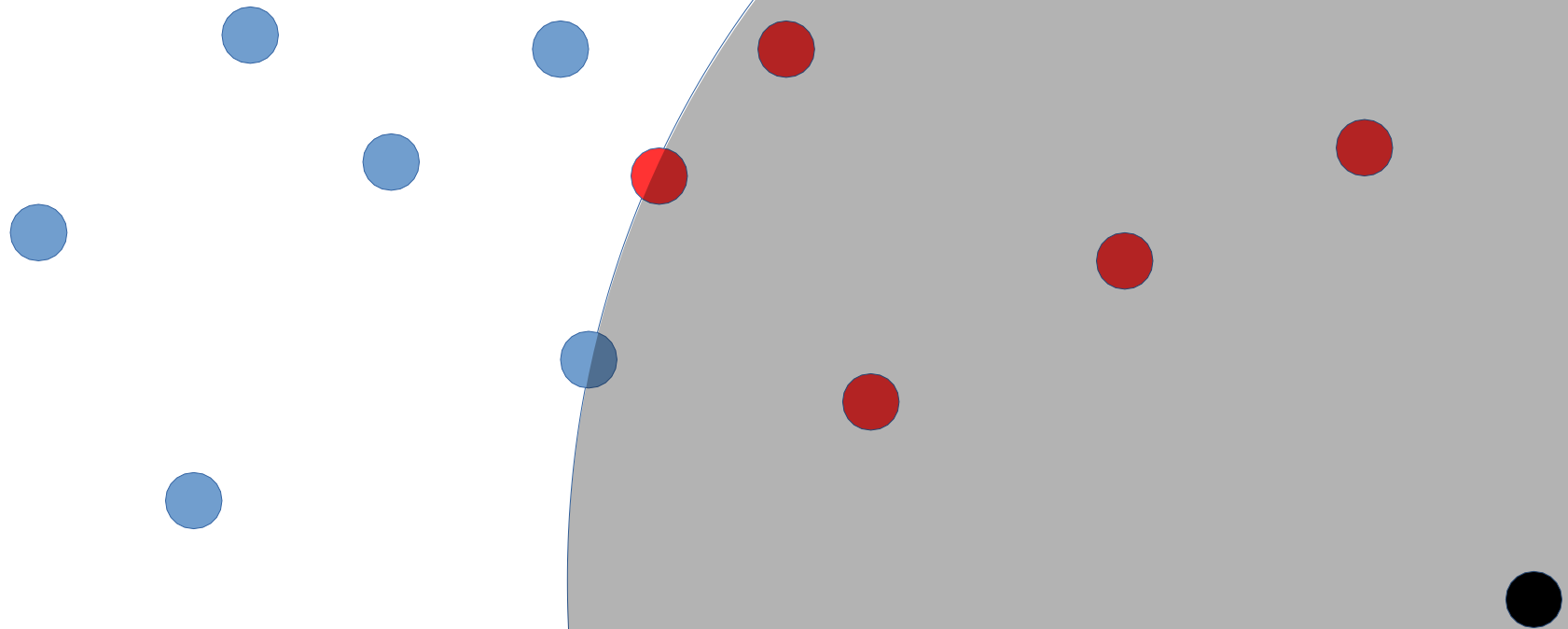


# Voisins a distance $< R$



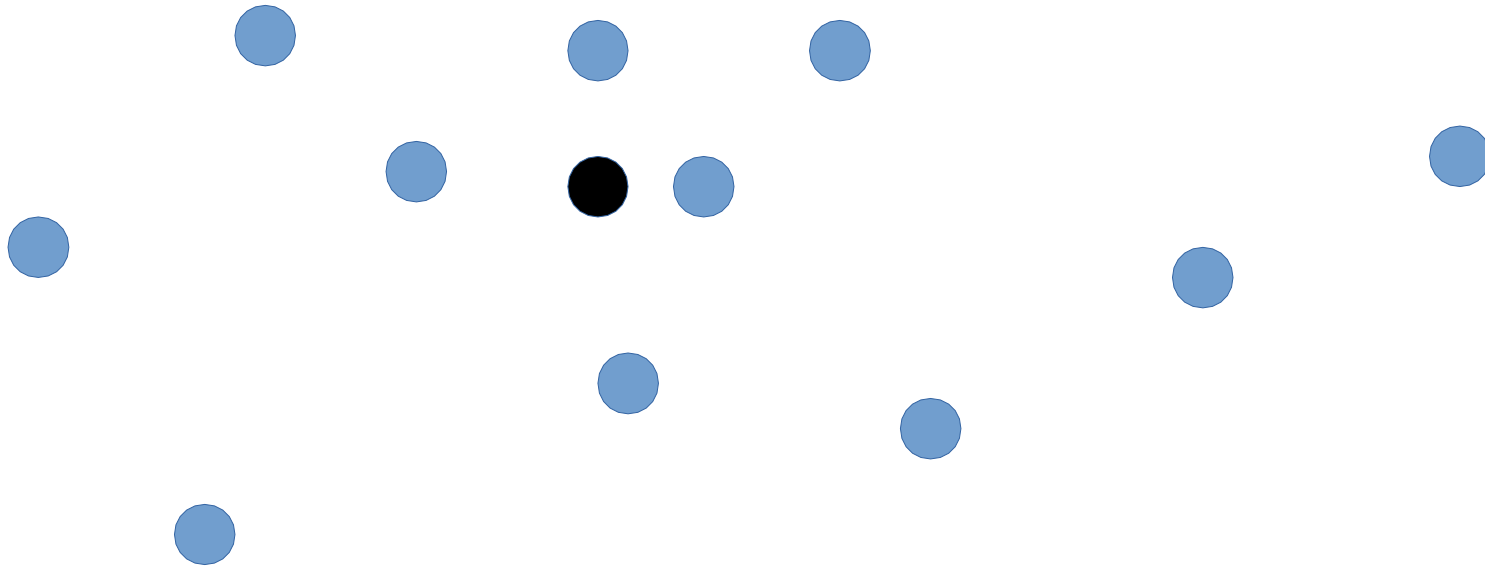


# K (ici, 5) plus proches voisins



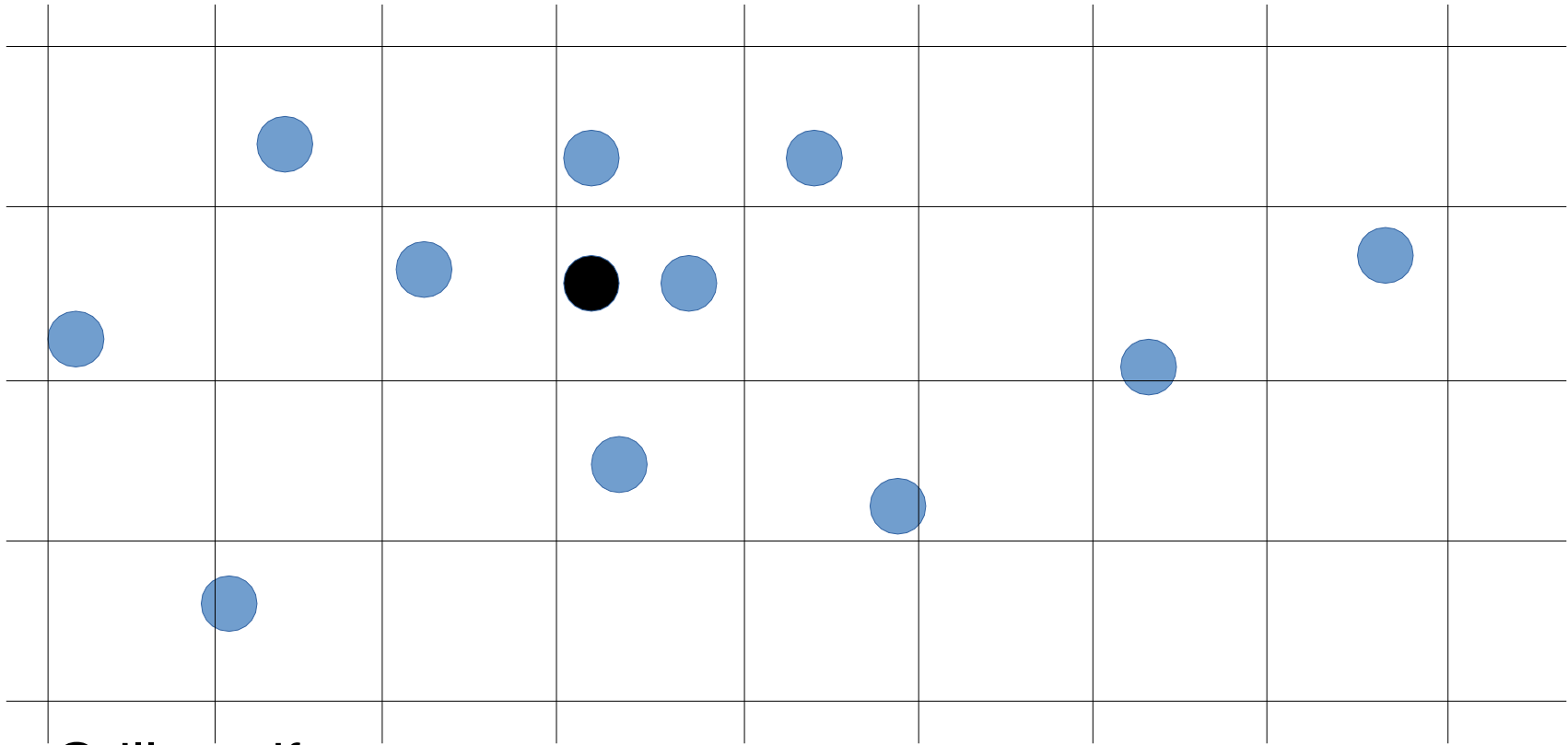
K plus proches voisins peuvent être dans un voisinage très éloigné, et mal distribués !

# Recherche de voisinages Euclidiens : Structures



Parcours linéaire : le plus simple, aucune structure à stocker.

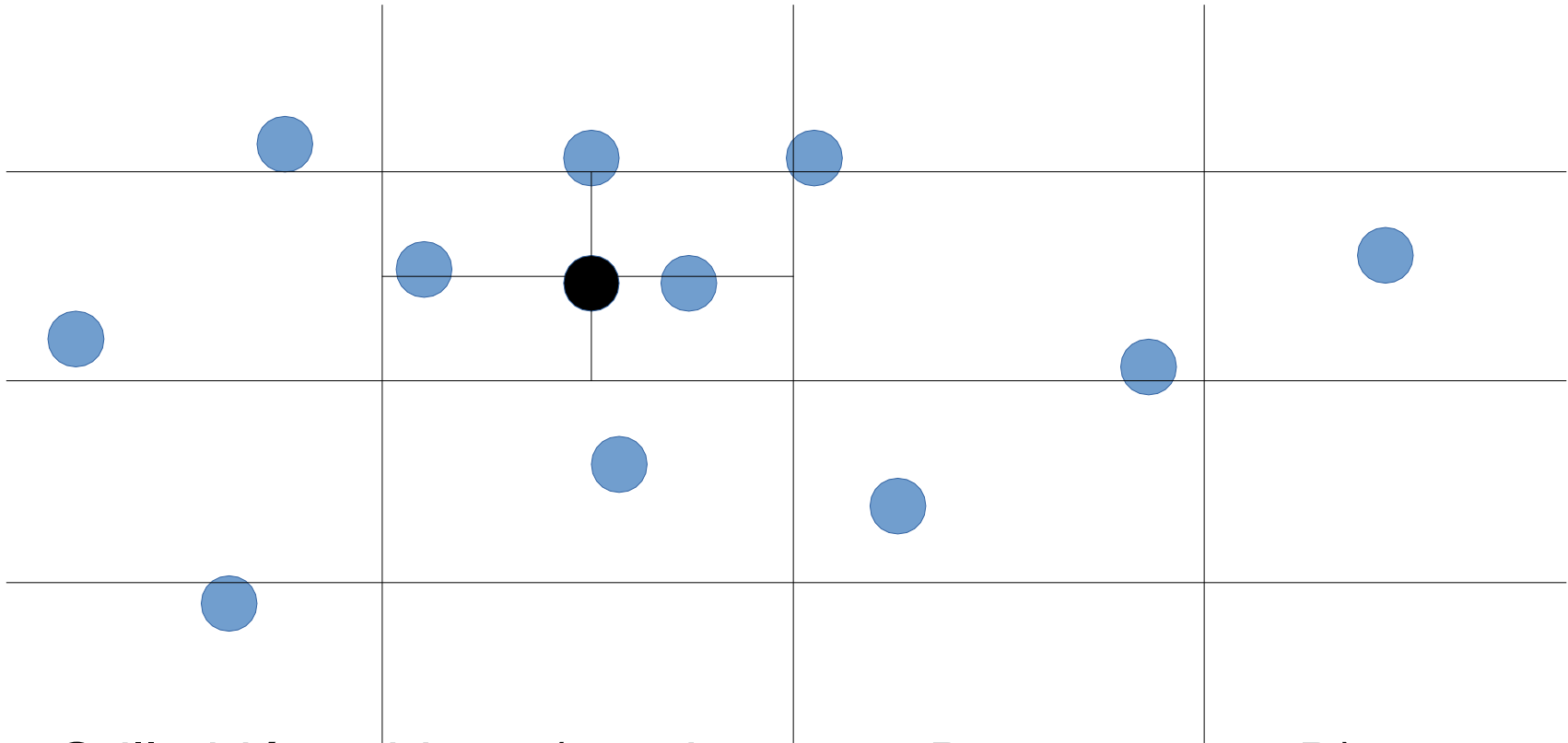
# Recherche de voisinages Euclidiens : Structures



Grille uniforme :

- très simple,
- dépend de la taille de la cellule,
- gâche des espaces vides → pas adaptée à des points distribués sur une surface

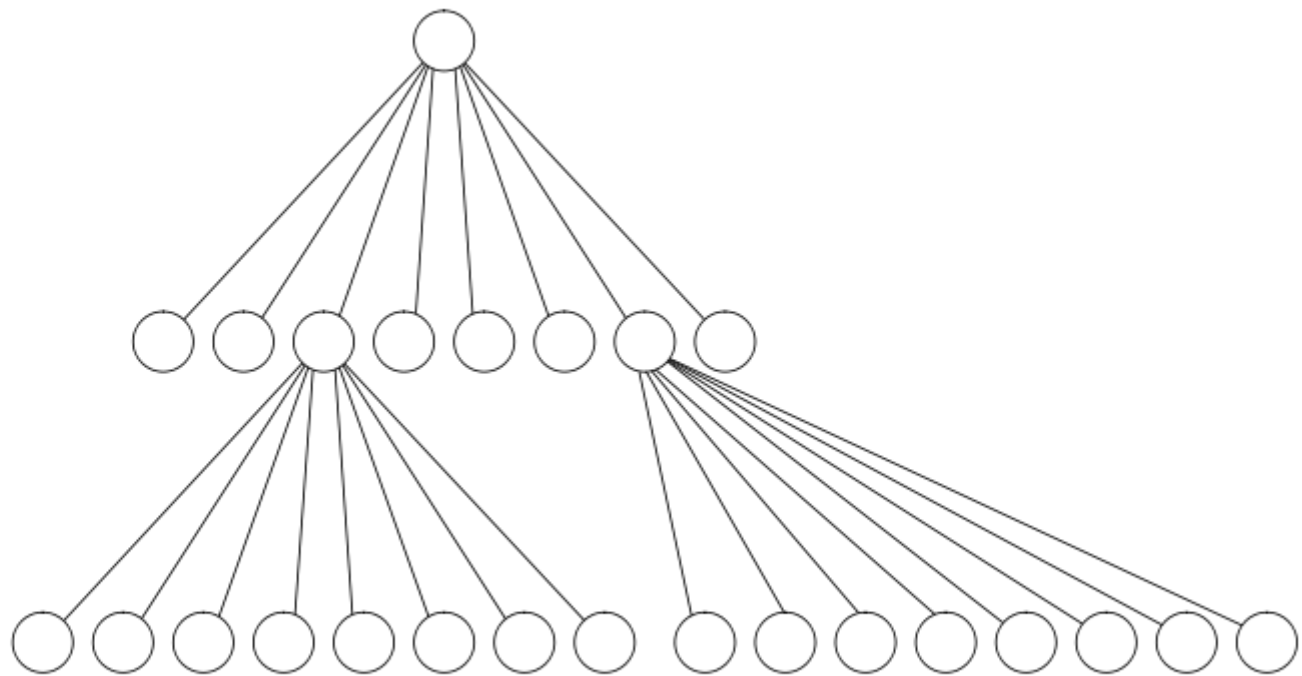
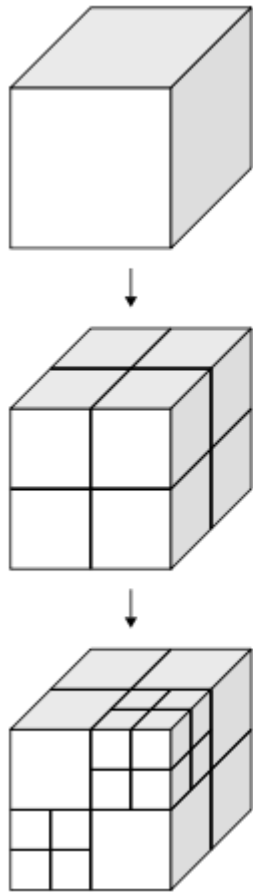
# Recherche de voisinages Euclidiens : Structures



Grille hiérarchique (quadtree en 2D, octree en 3D) :

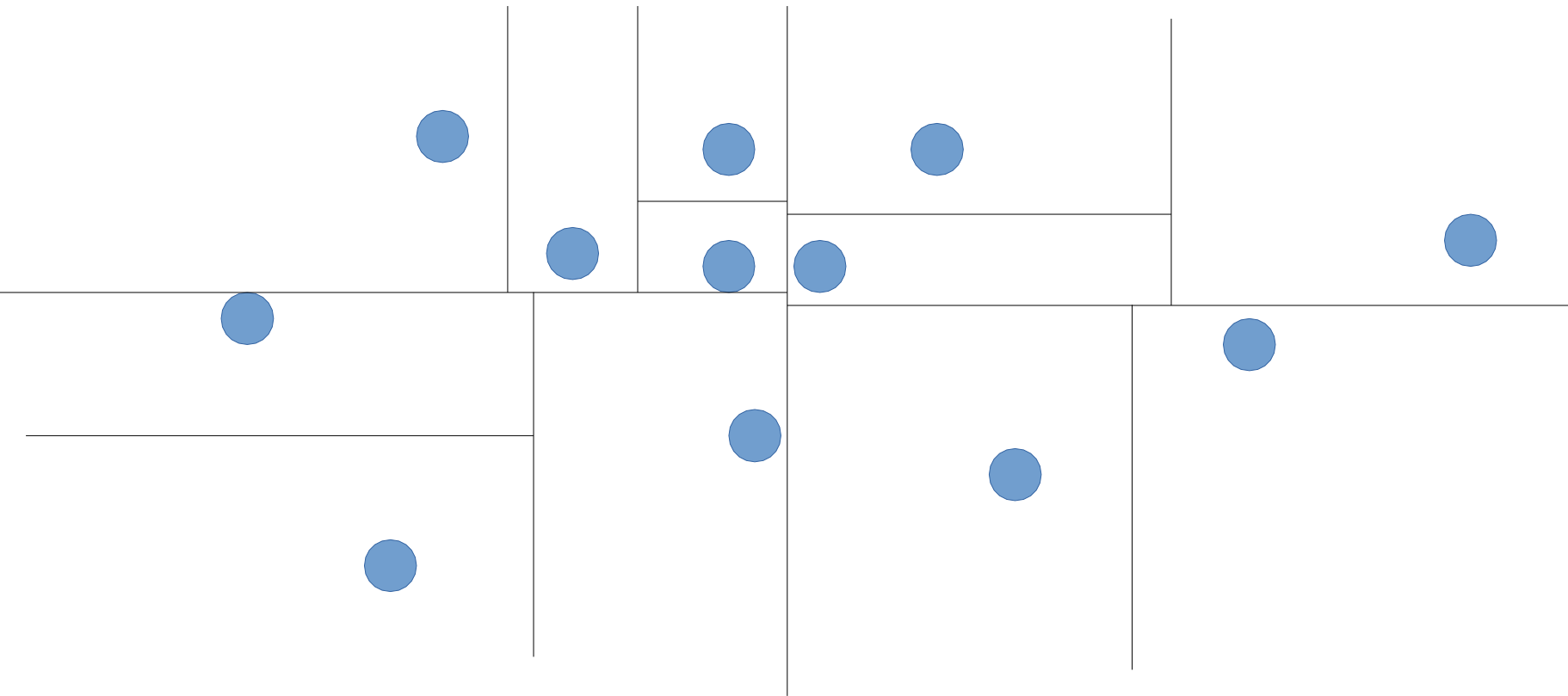
- construction simple,
- query simple,
- adaptatif → adapté a des points distribués sur une surface

# Représentation « sparse » des octrees



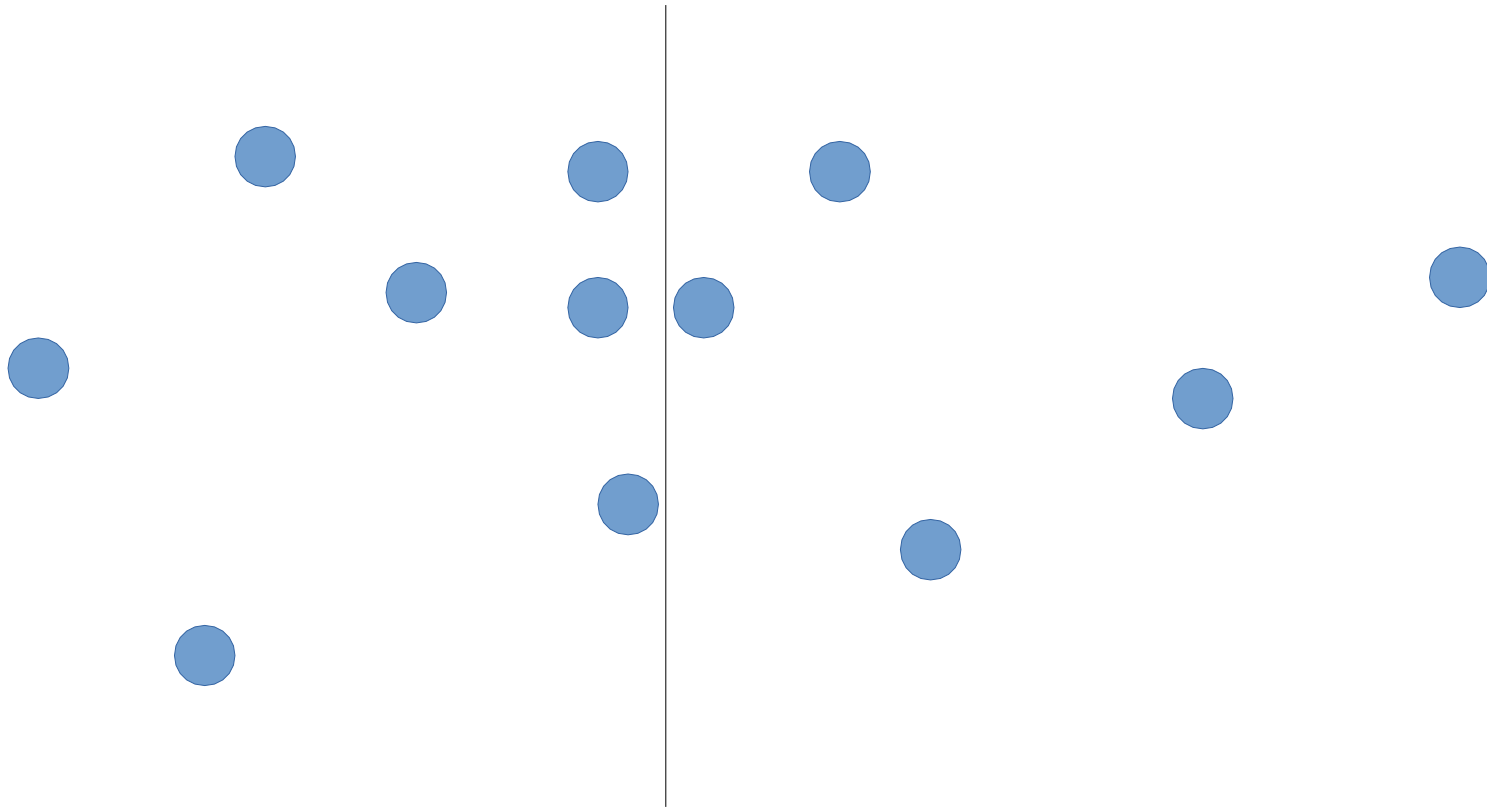


# kd-tree



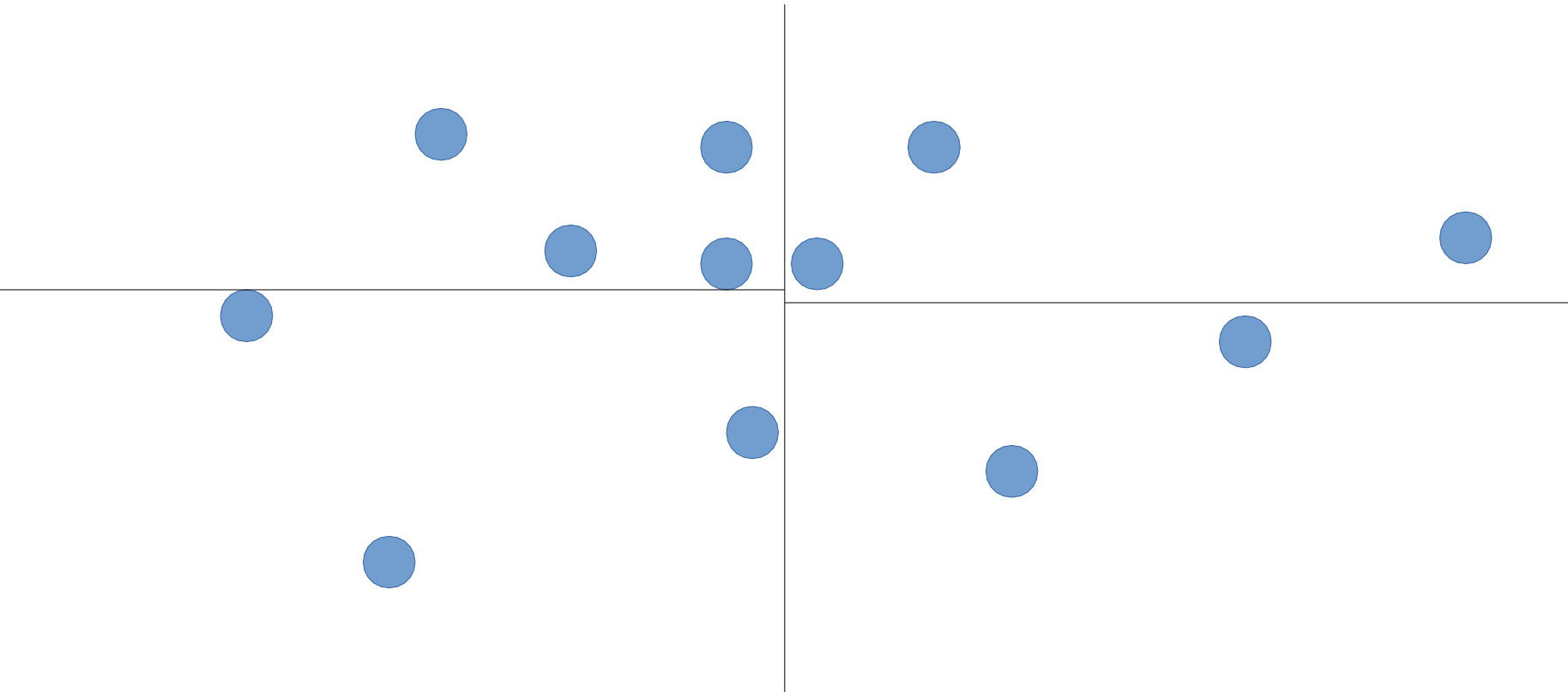
kd-tree: construction simple, query un peu compliquée  
mais efficace, adaptatif → adapté a des points  
distribués sur une surface

# kd-tree



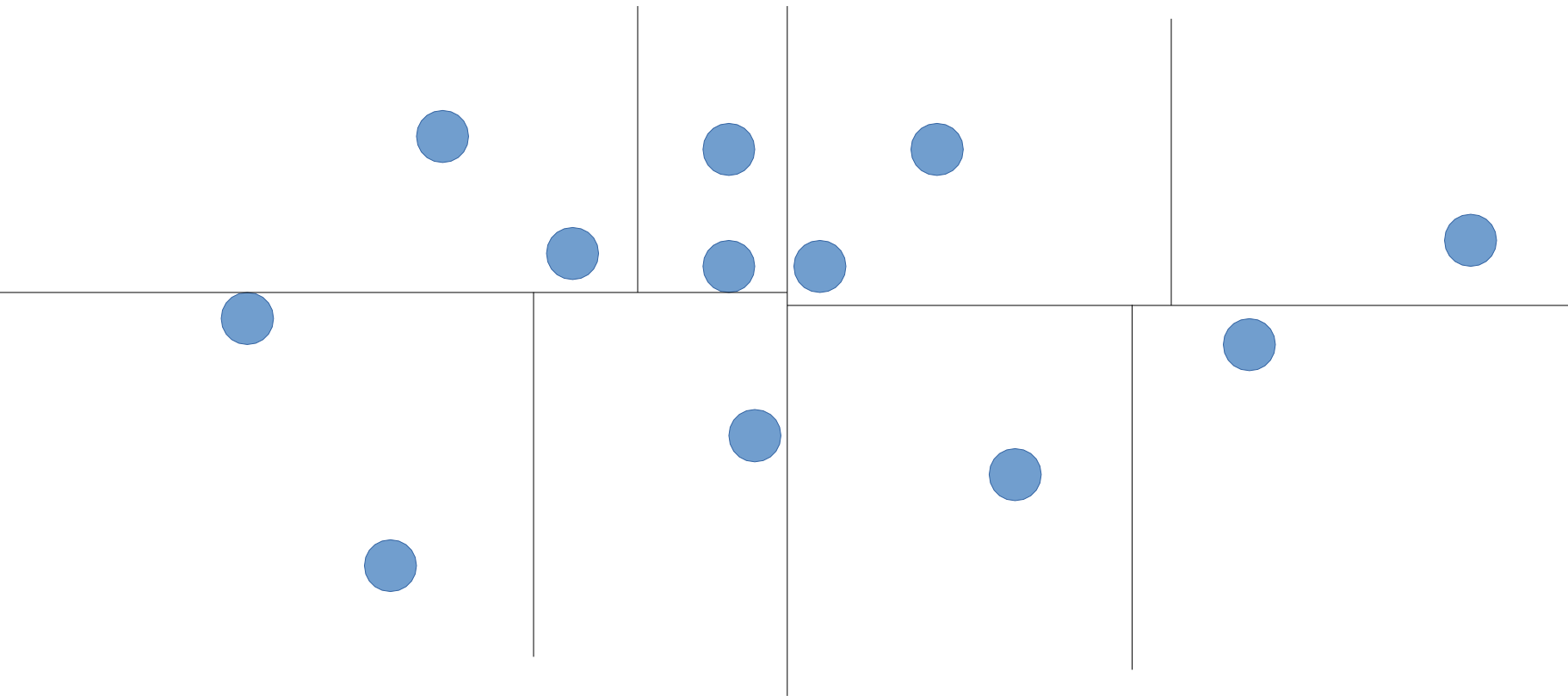
kd-tree: construction simple

# kd-tree



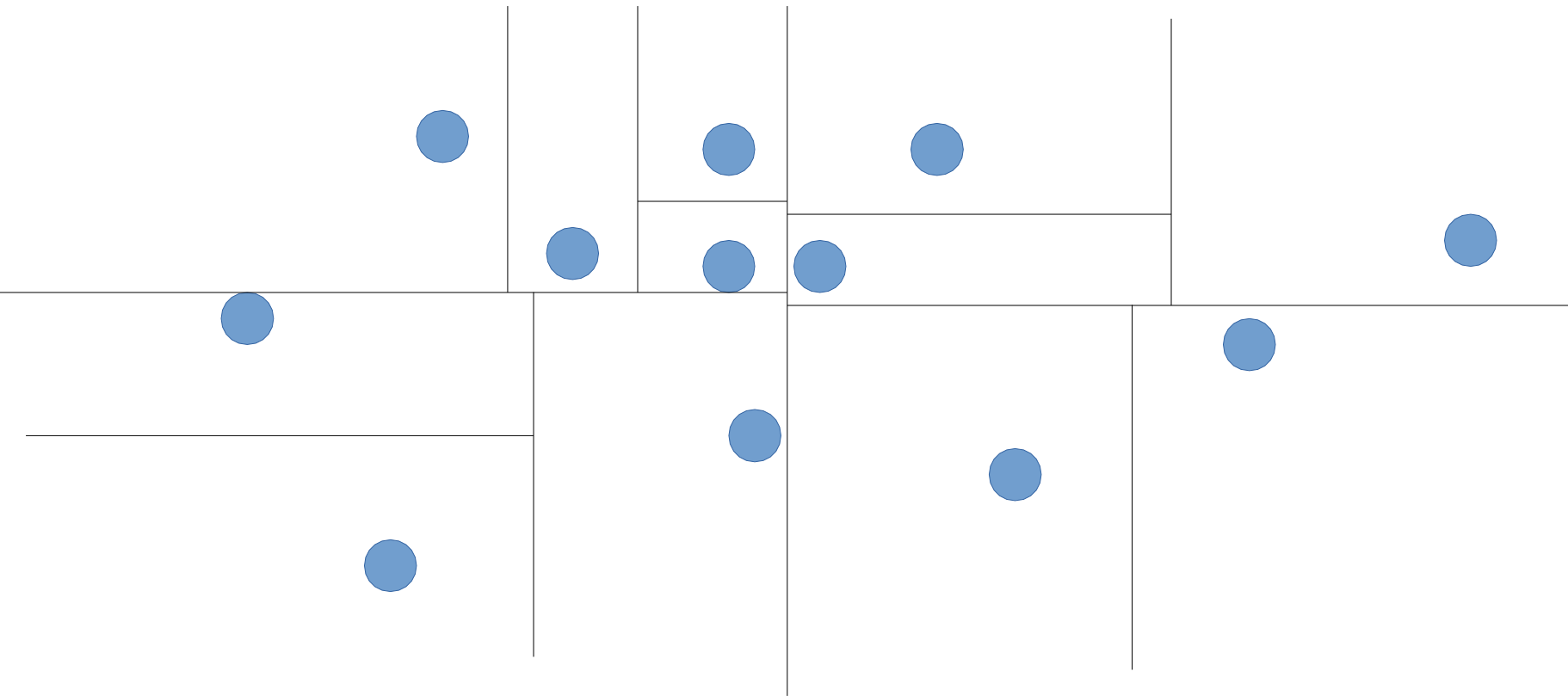
kd-tree: construction simple

# kd-tree



kd-tree: construction simple

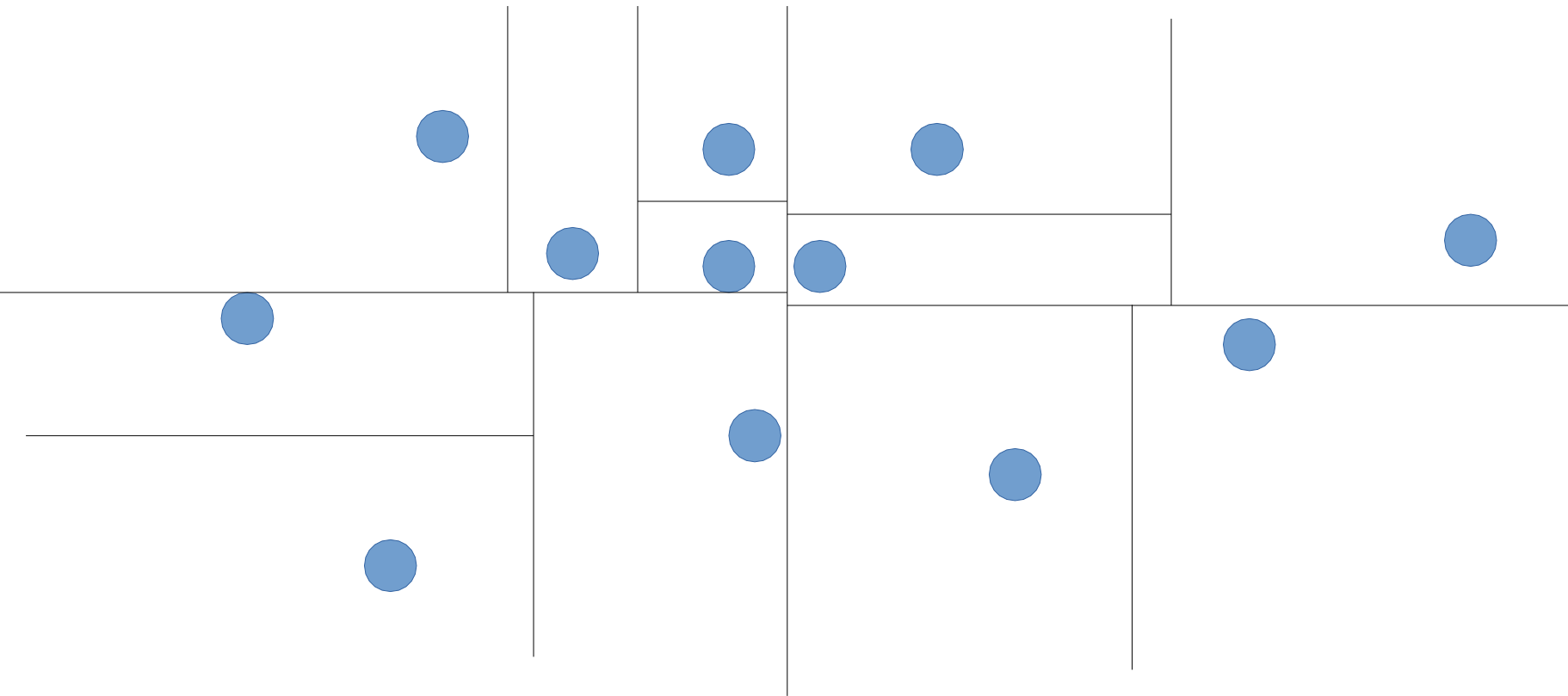
# kd-tree



kd-tree: construction simple



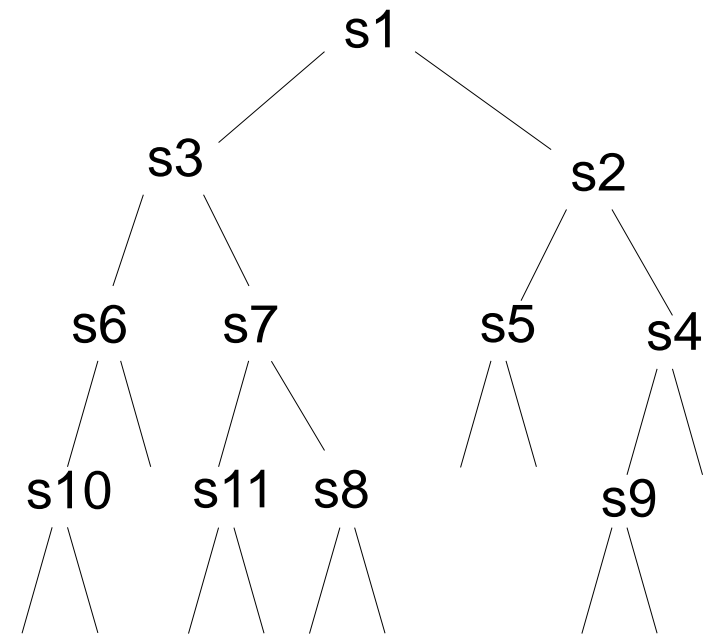
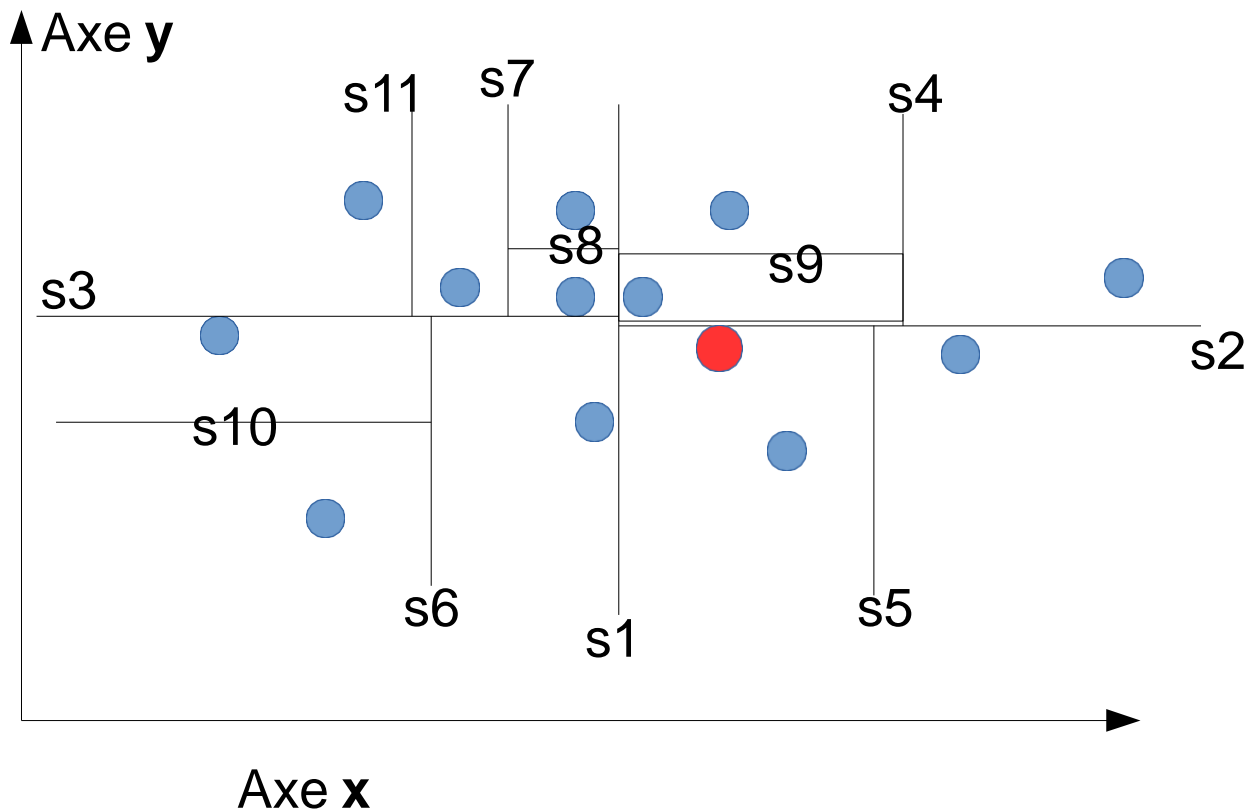
# kd-tree



kd-tree: chaque nœud stocke l'axe de subdivision (par ex, « x »), une équation décrivant sa géométrie (par ex, «  $x=4$  »), et des pointeurs vers ses deux nœuds fils

# Kd-tree : recherche du plus proche voisin

- Identifier la feuille dans laquelle tombe le point
- En remontant l'arbre, vérifier si les cellules voisines peuvent contenir des points plus proches



# Kd-tree : recherche du plus proche voisin

```
NNS(q: point, n: node, p: point, w: distance) : point {
  if n.left = null then {leaf case}
    if distance(q,n.point) < w then return n.point else return p;
  else
    if w = infinity then
      if q(n.axis) ≤ n.value then
        p := NNS(q,n.left,p,w);
        w := distance(p,q);
        if q(n.axis) + w > n.value then p := NNS(q, n.right, p, w);
      else
        p := NNS(q,n.right,p,w);
        w := distance(p,q);
        if q(n.axis) - w ≤ n.value then p := NNS(q, n.left, p, w);
    else //w is finite//
      if q(n.axis) - w ≤ n.value then
        p := NNS(q, n.left, p, w);
        w := distance(p,q);
        if q(n.axis) + w > n.value then p := NNS(q, n.right, p, w);
    return p
}
```

Ressources extérieures utilisées :

<https://courses.cs.washington.edu/courses/cse373/02au/lectures/lecture22l.pdf>

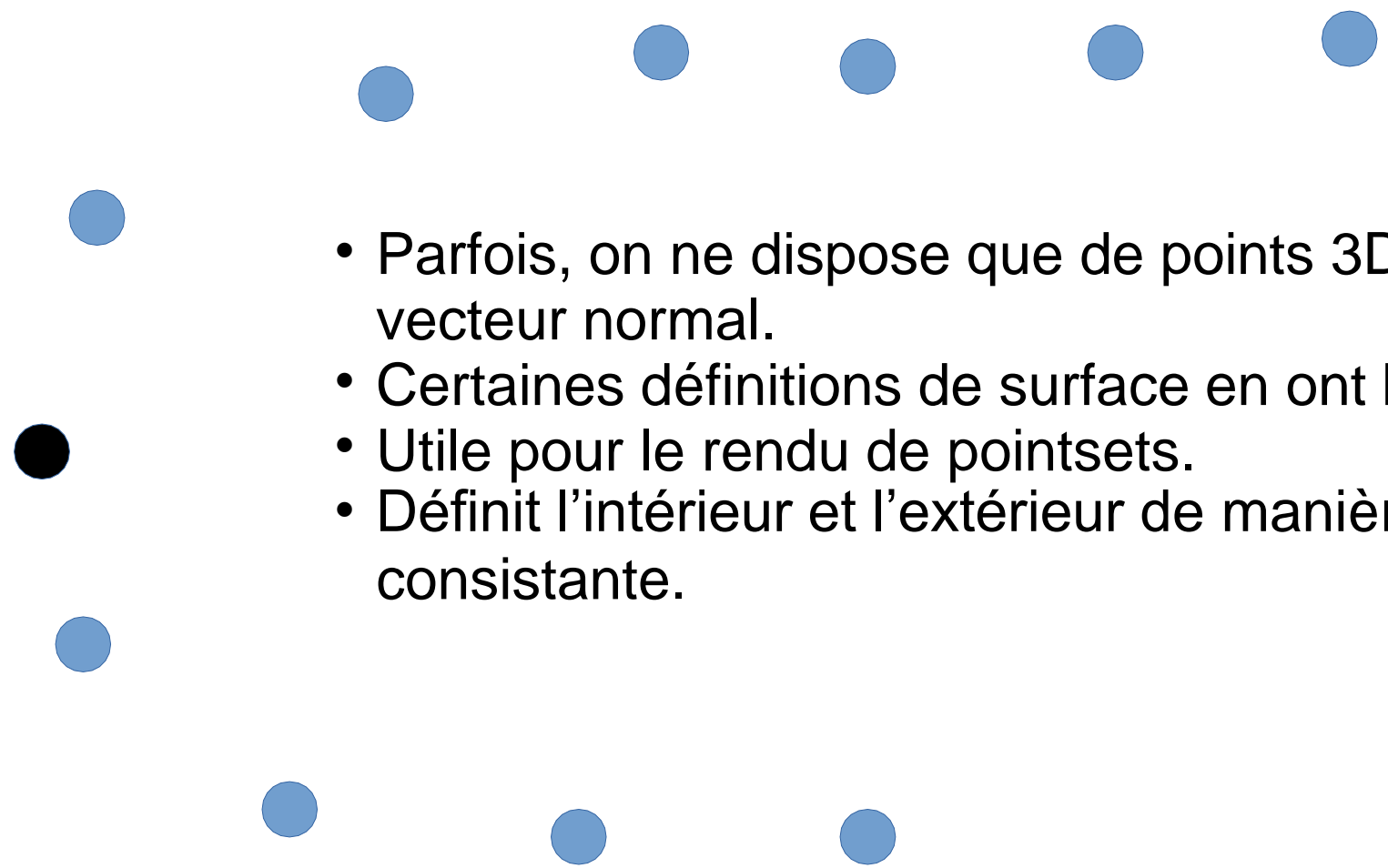
# Kd-tree

- Permet la recherche du plus proche voisin
- Permet la recherche des k plus proches voisins
- Permet la recherche des voisins dans une boule
- Complexite de construction :  $n \log(n)$
- Complexite de query :  $k \log(n)$
  
- Librairies open source existantes
- Code fourni pour le TP

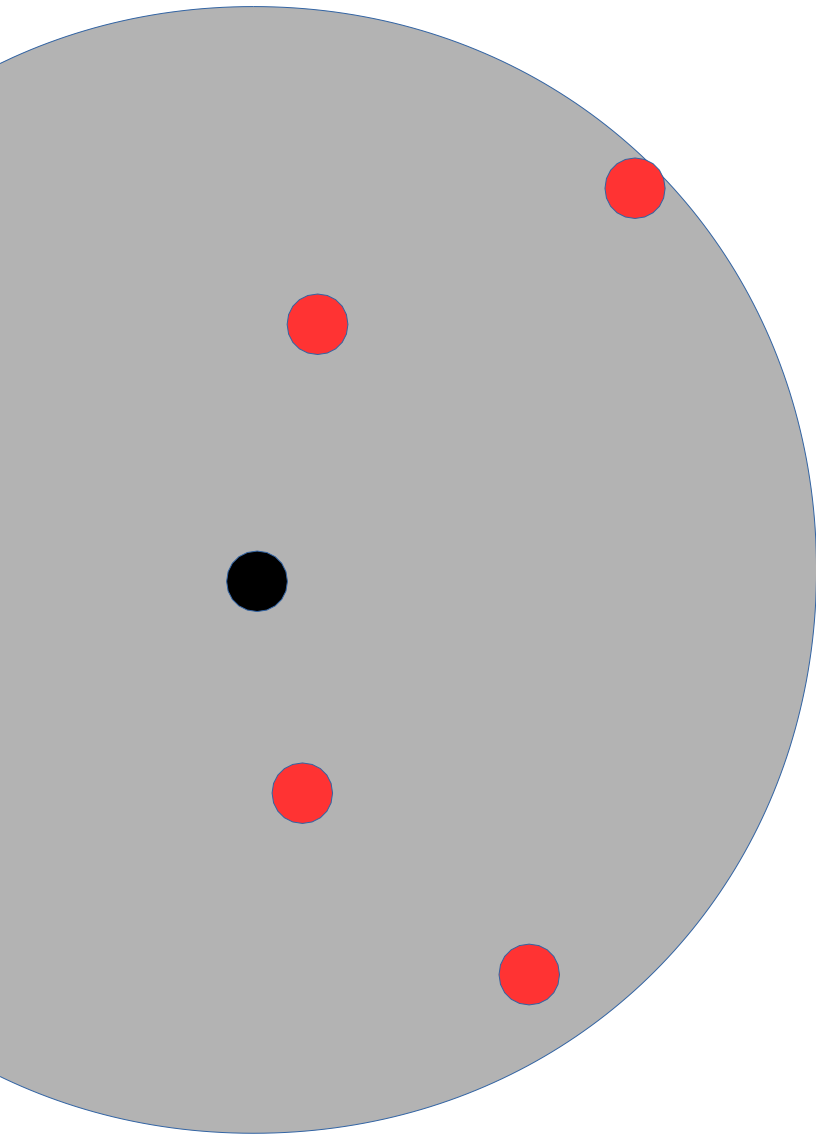
# Questions ?



# Estimation des normales

- 
- Parfois, on ne dispose que de points 3D, sans leur vecteur normal.
  - Certaines définitions de surface en ont besoin.
  - Utile pour le rendu de pointsets.
  - Définit l'intérieur et l'extérieur de manière consistante.

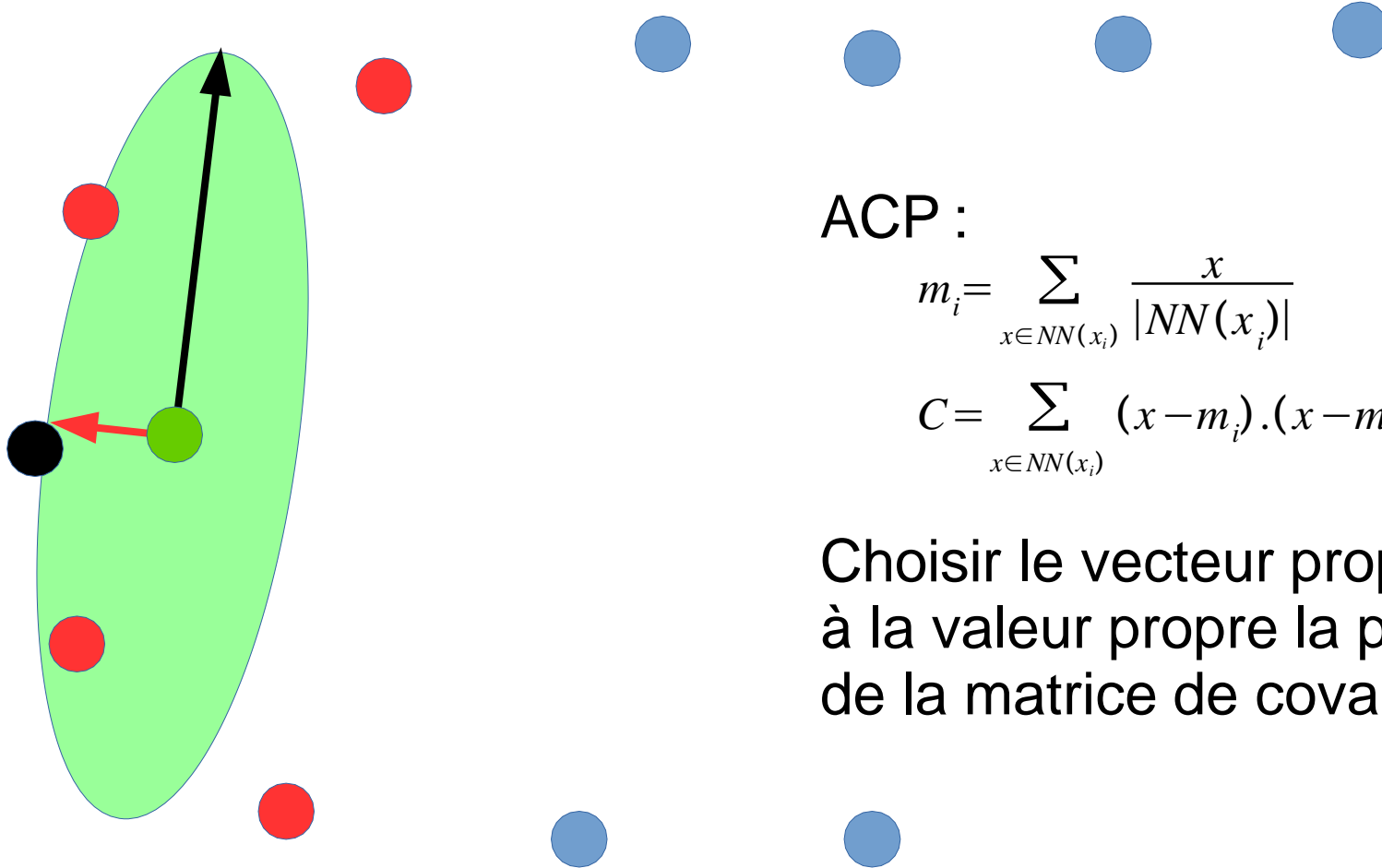
# Estimation des normales



Plus proches voisins :  $NN(x_i)$



# Estimation des normales



ACP :

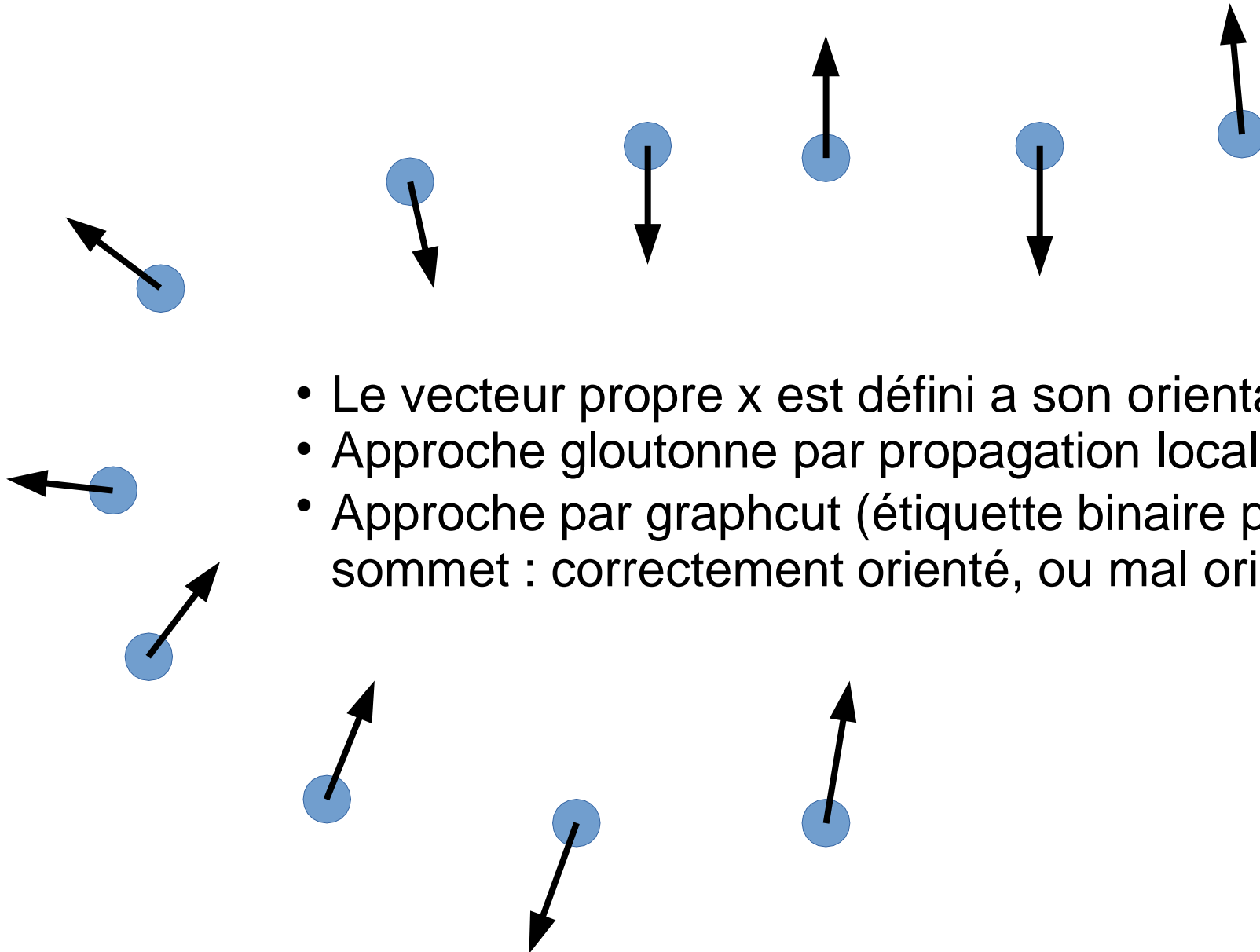
$$m_i = \sum_{x \in NN(x_i)} \frac{x}{|NN(x_i)|}$$

$$C = \sum_{x \in NN(x_i)} (x - m_i) \cdot (x - m_i)^T$$

Choisir le vecteur propre associé à la valeur propre la plus petite de la matrice de covariance.



# Orientation consistente



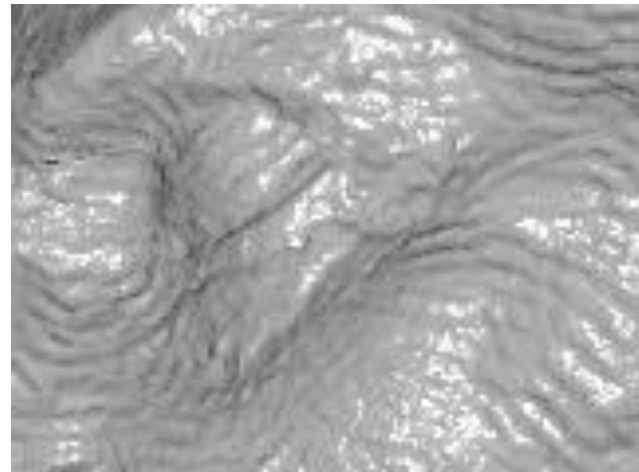
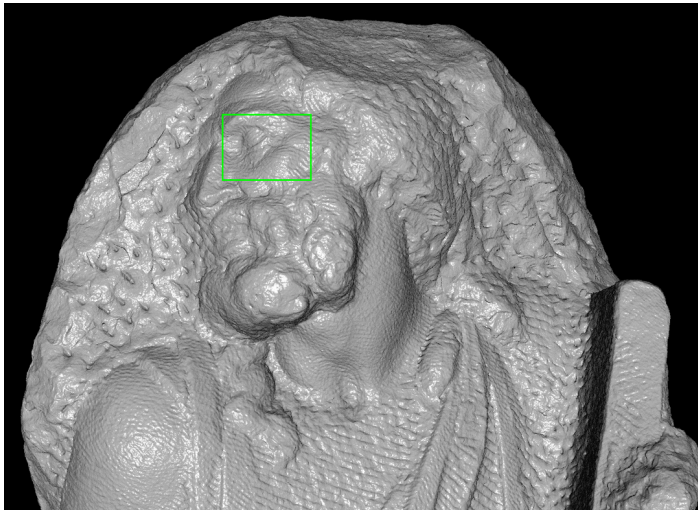
- Le vecteur propre  $x$  est défini a son orientation près
- Approche gloutonne par propagation locale
- Approche par graphcut (étiquette binaire pour chaque sommet : correctement orienté, ou mal orienté)

# Questions ?



# Visualisation de pointsets massifs

Rendu de 127 millions de points



**[Rusinkiewicz & Levoy 2000]** QSplat: A Multiresolution Point Rendering System for Large Meshes

# Visualisation de pointsets massifs

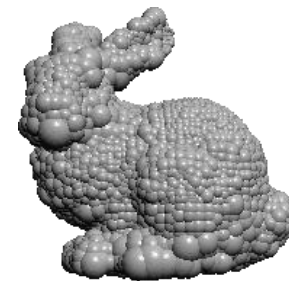
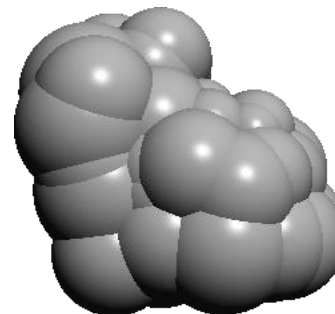
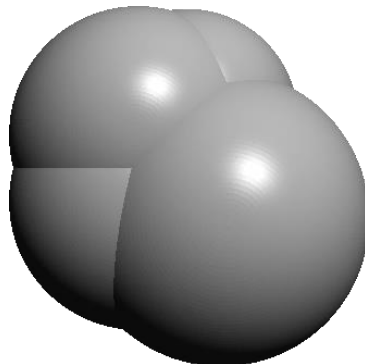
- S'appuie sur une hiérarchie de sphères englobantes
- On n'affiche que ce que l'on doit dans un pixel
- Construction faite avec un (par exemple) un kdtree ou un BSPtree

Pixel :



...

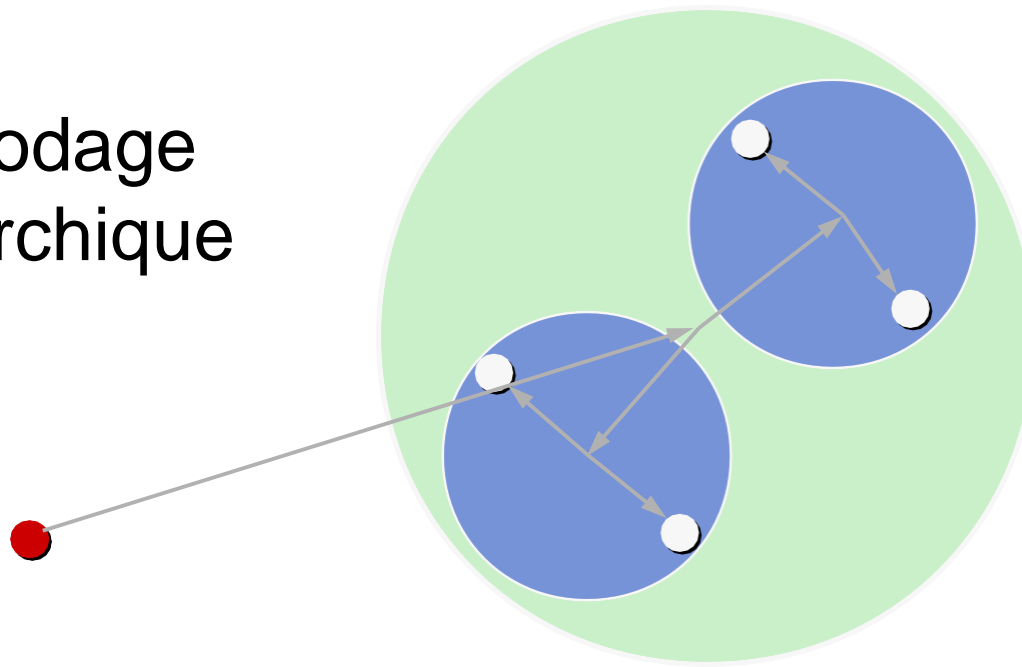
Niveau  
adapte :



# Visualisation de pointsets massifs

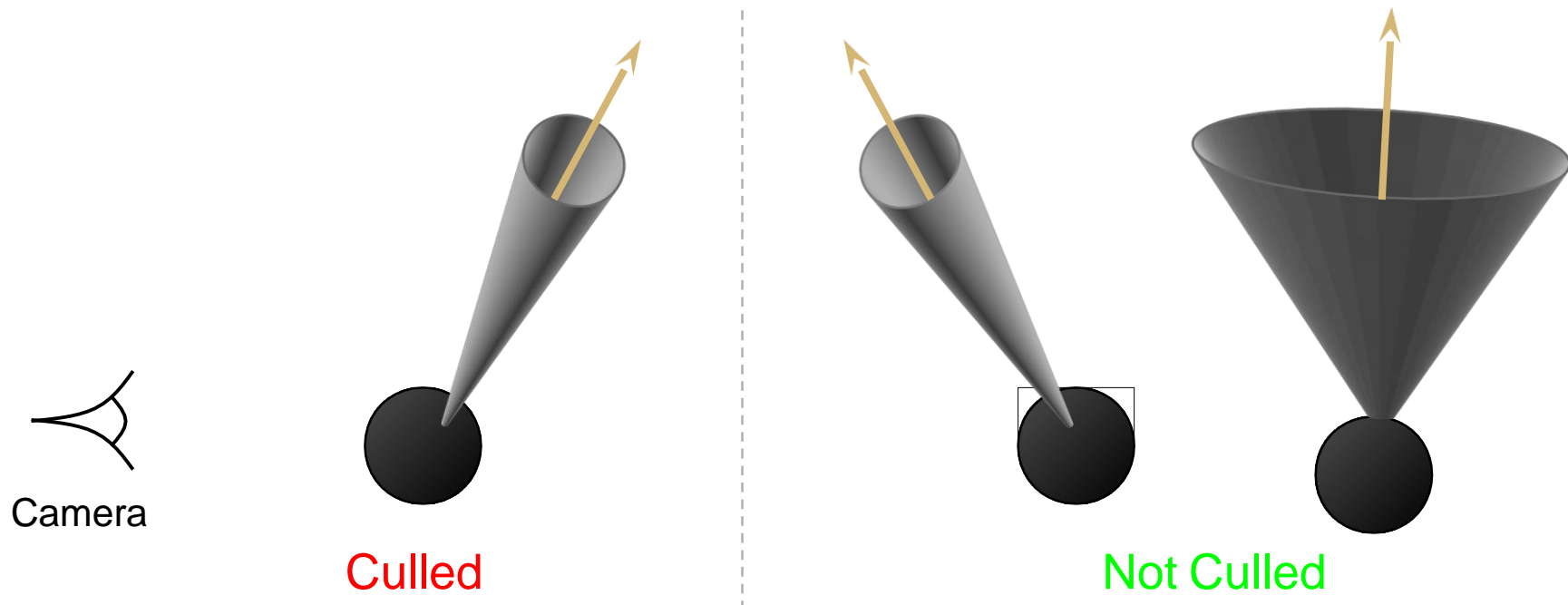
- Chaque nœud contient un pointeur vers ses deux sphères filles
- Ainsi que l'ouverture du cône des normales contenues dans le noeud
- La géométrie de chaque sphère est encodée de manière hiérarchique (des petits nombres encodés sur peu de bits)

Encodage  
hiérarchique



# Visualisation de pointsets massifs

- L'ouverture du cône des normales est utilisée pour le cull des sphères contenant les points qui ne font pas face à la caméra.



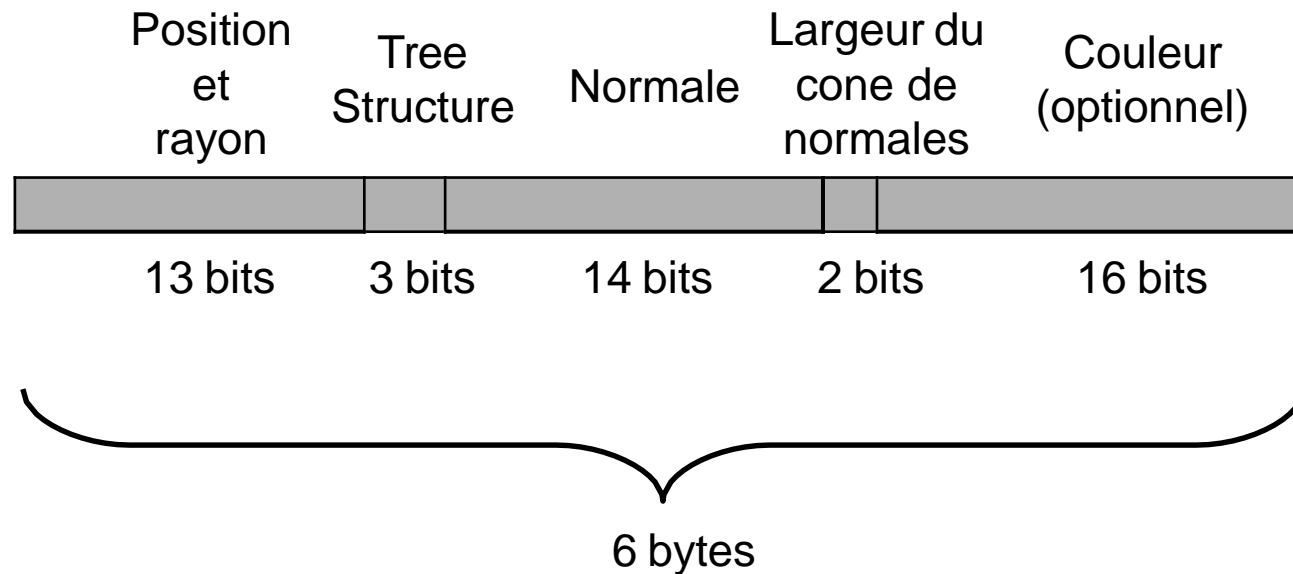
# Visualisation de pointsets massifs

Pseudo code :

```
if (node not visible)
    Skip this branch
else if (leaf node)
    Draw a splat
else if (size on screen < threshold)
    Draw a splat
else
    Traverse children
```

# Visualisation de pointsets massifs

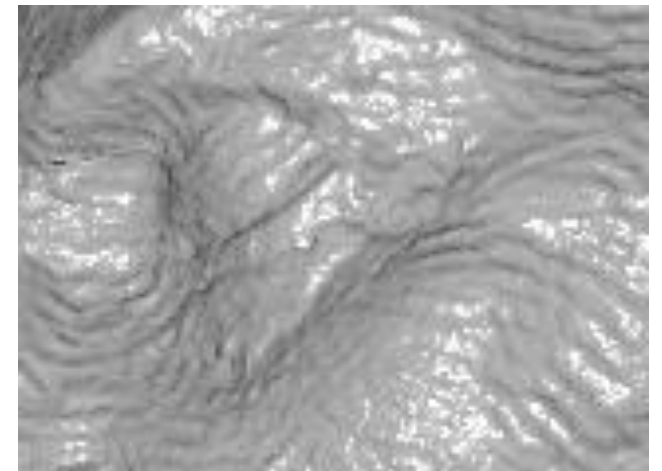
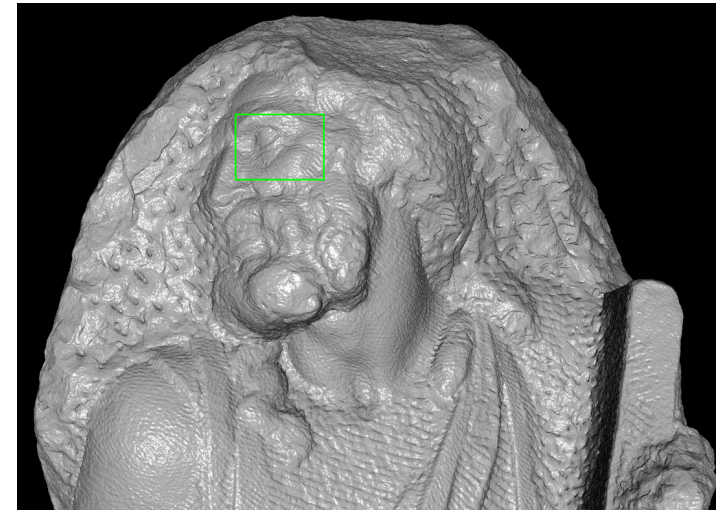
## Encodage compressé





# Visualisation de pointsets massifs

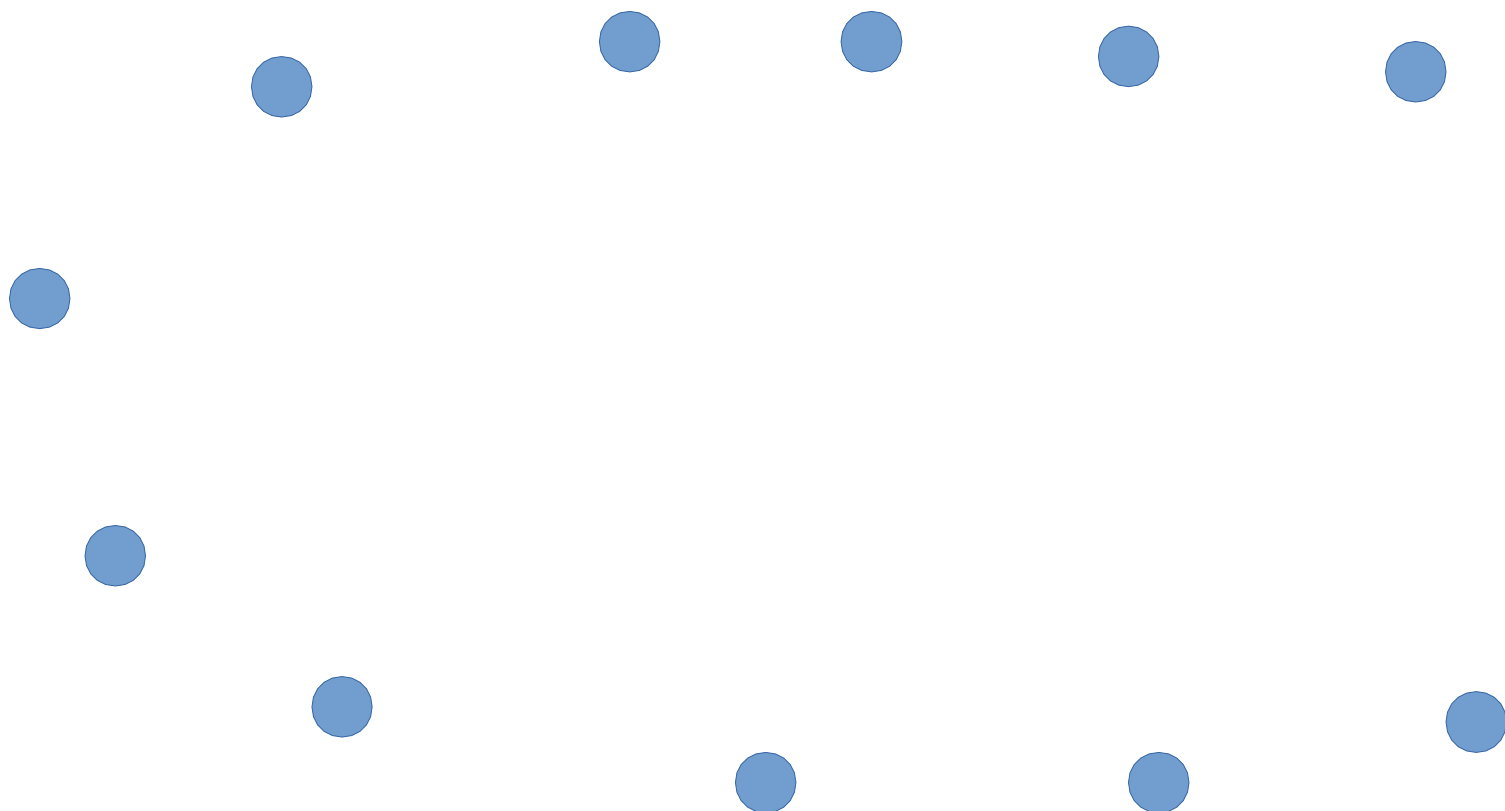
- 3D scan, statue de 2m70 a 0.25 mm
- 102,868,637 points
- Fichier: 644 MB
- Demo sur portable (PII 366, 128 MB), sans carte graphique (Vivent les années 2000!)
- Preprocessing: 1h



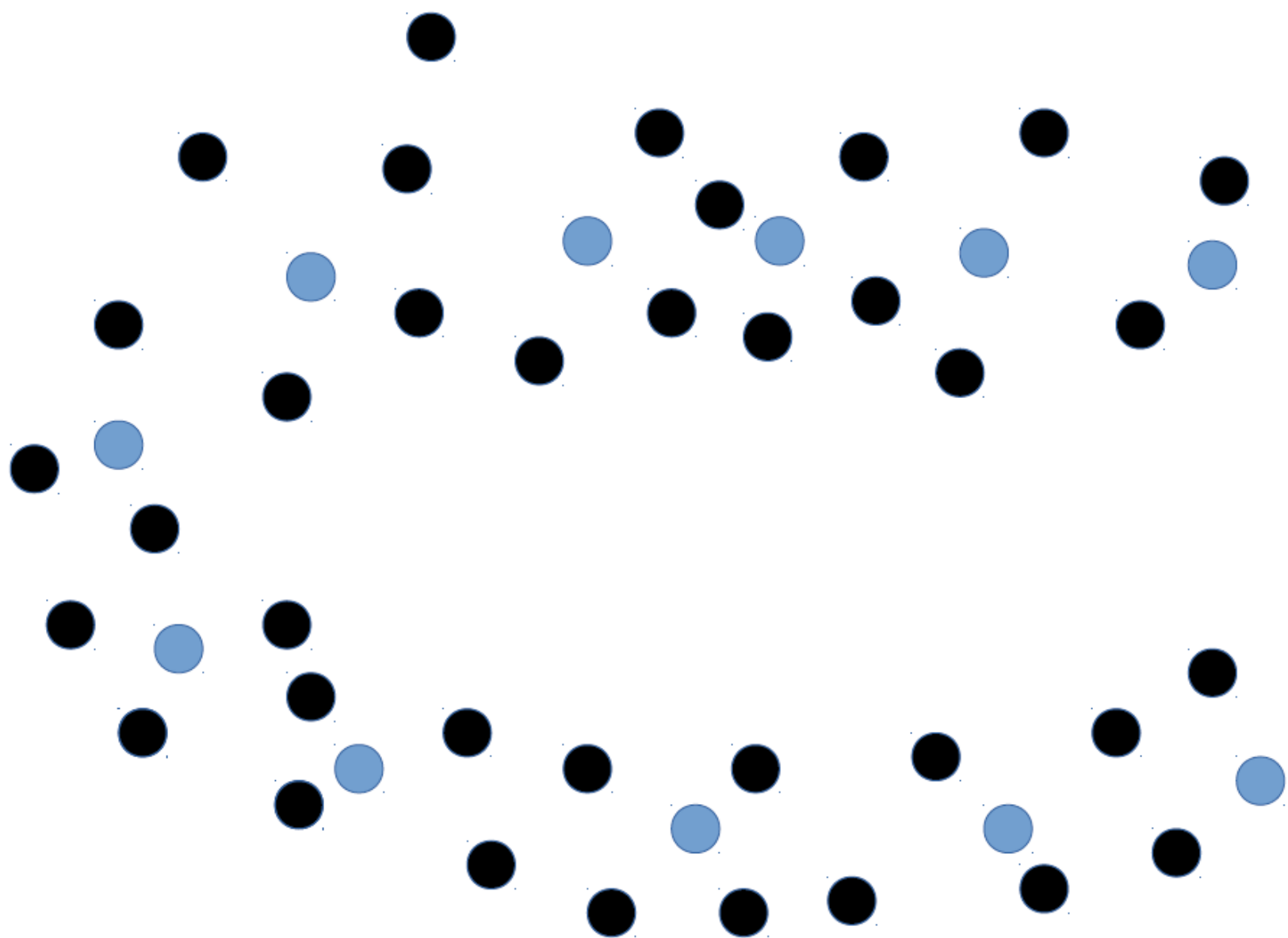
# Questions ?



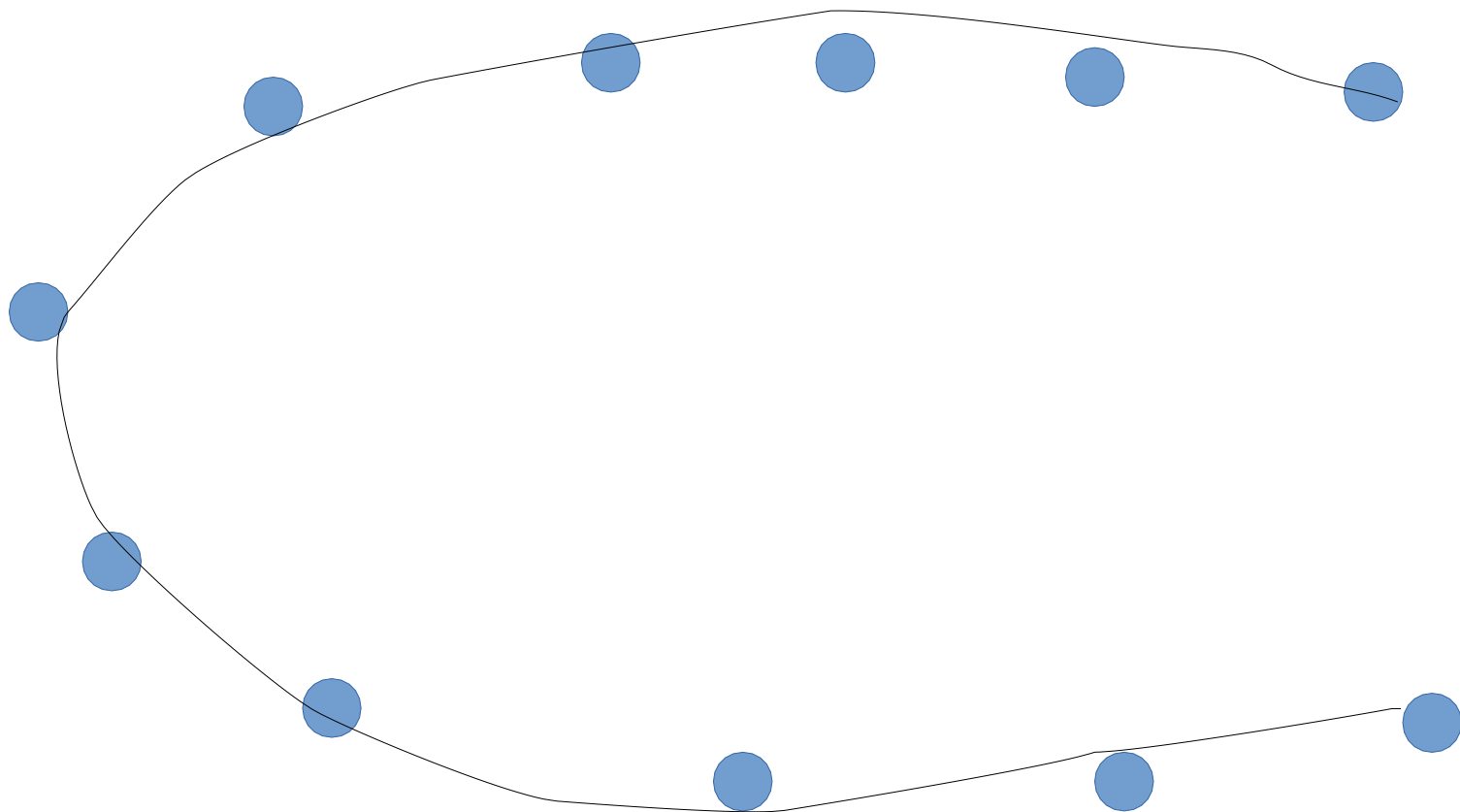
# Modèles de surfaces de points



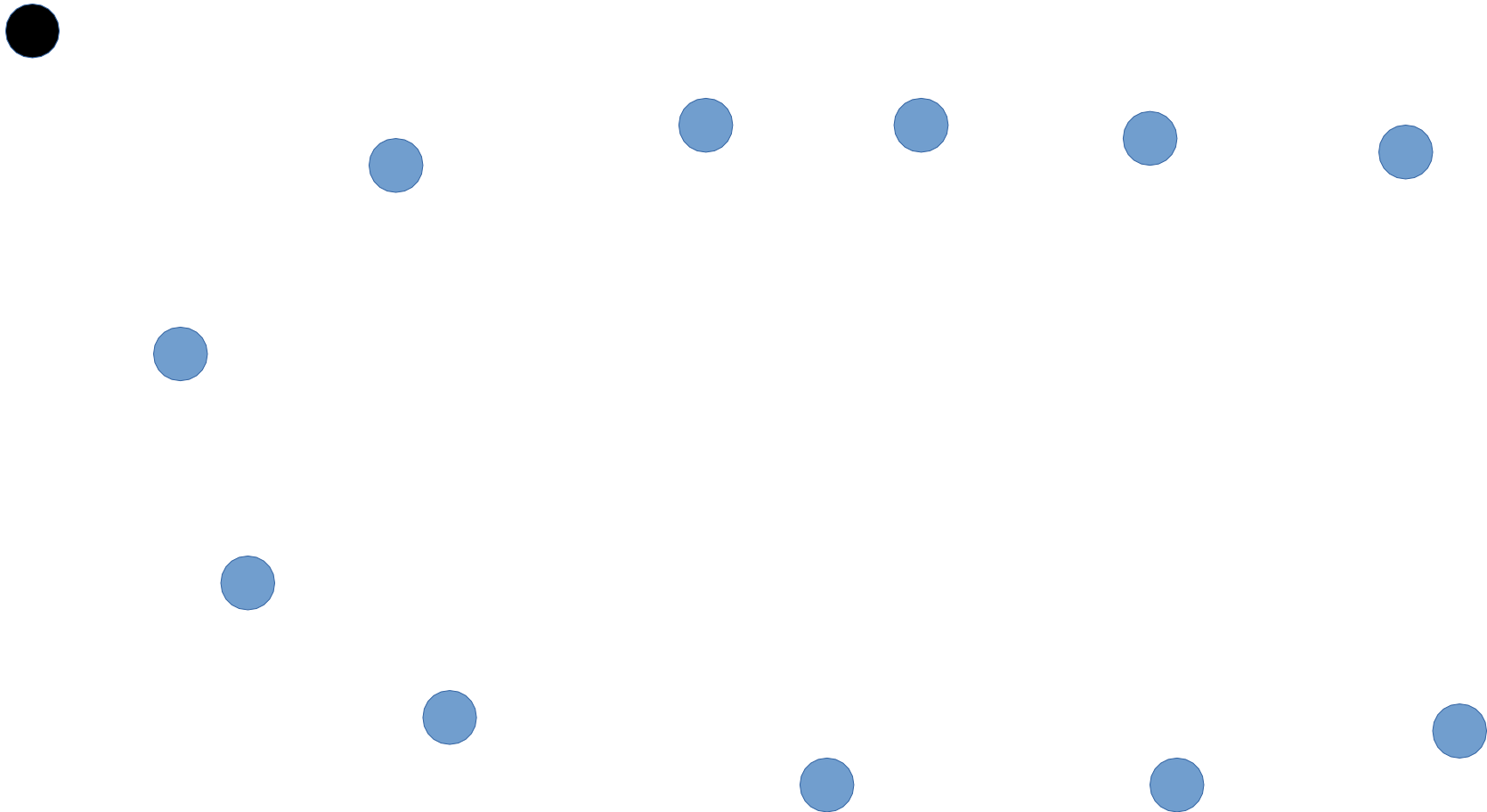
# Définition par projection



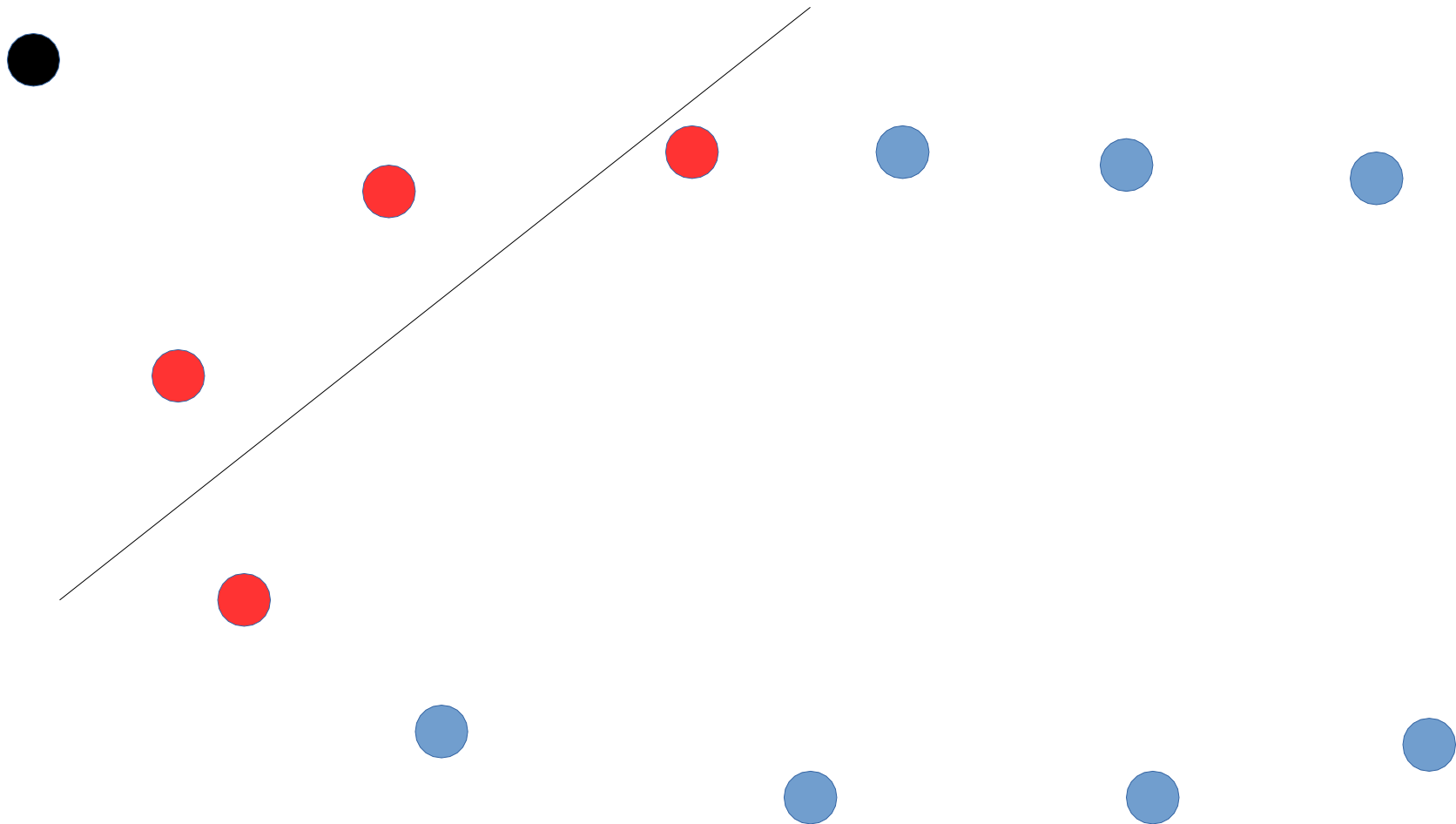
# Définition par projection



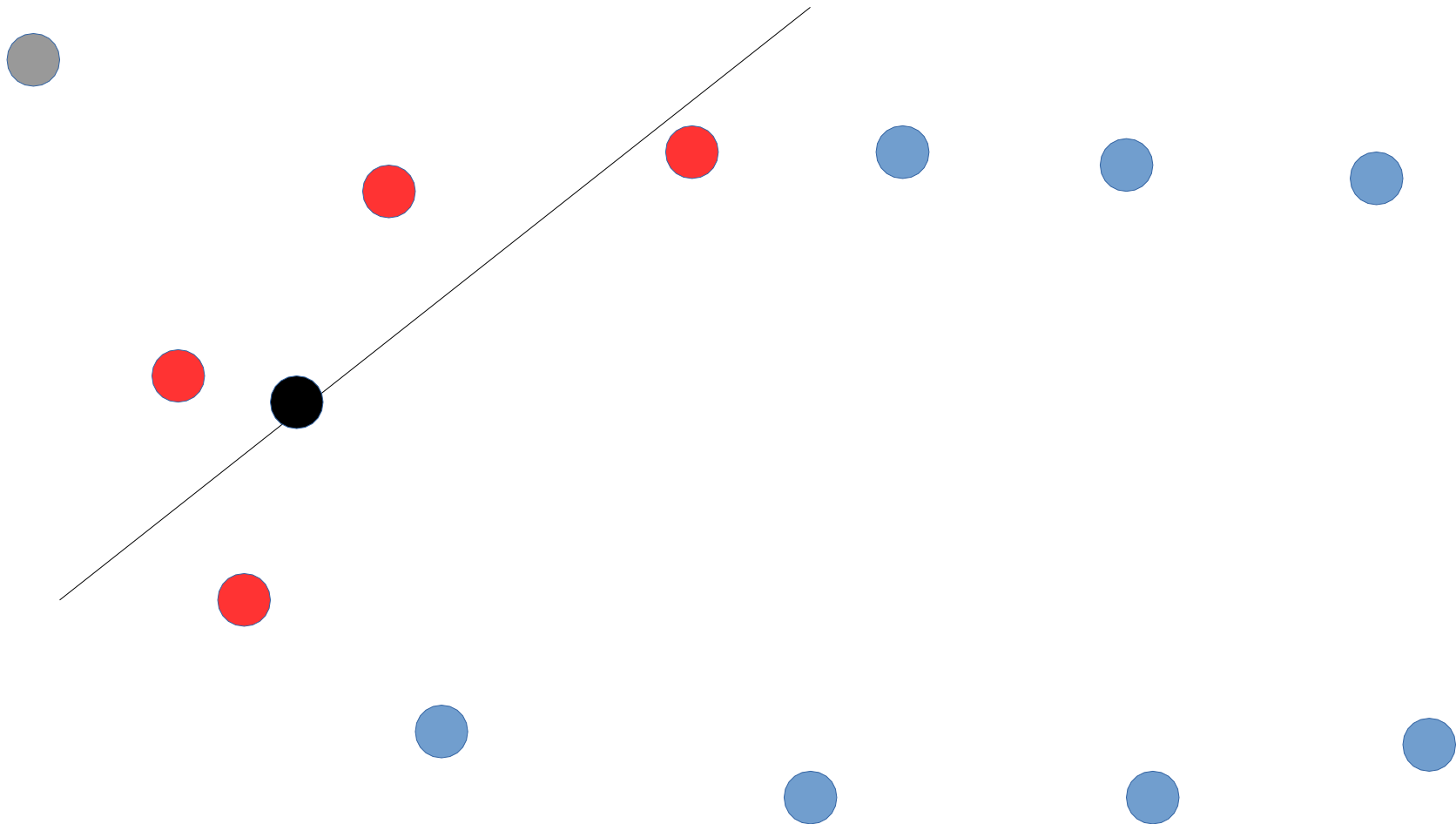
# « Moving Least Squares »



# « Moving Least Squares »

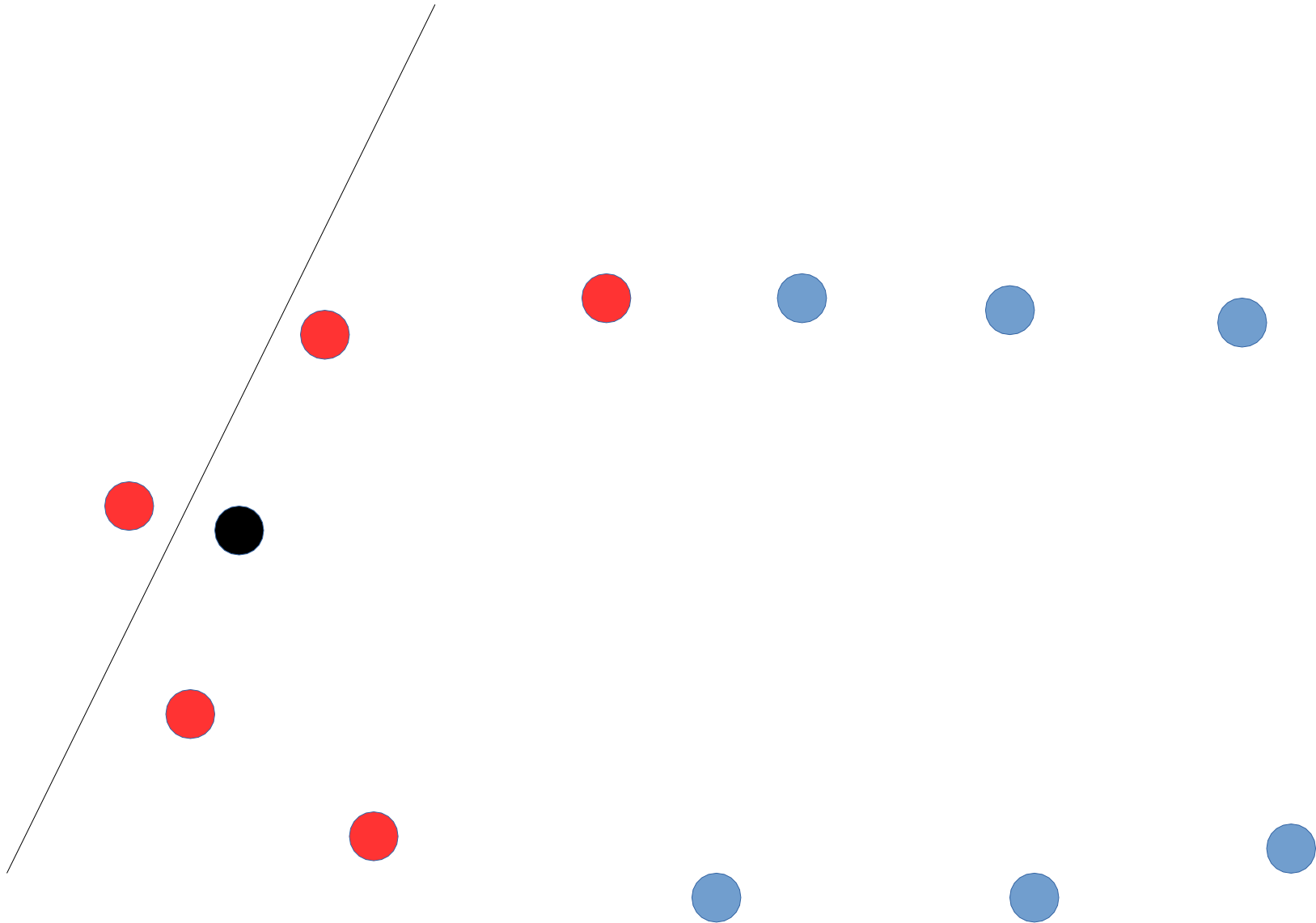


# « Moving Least Squares »

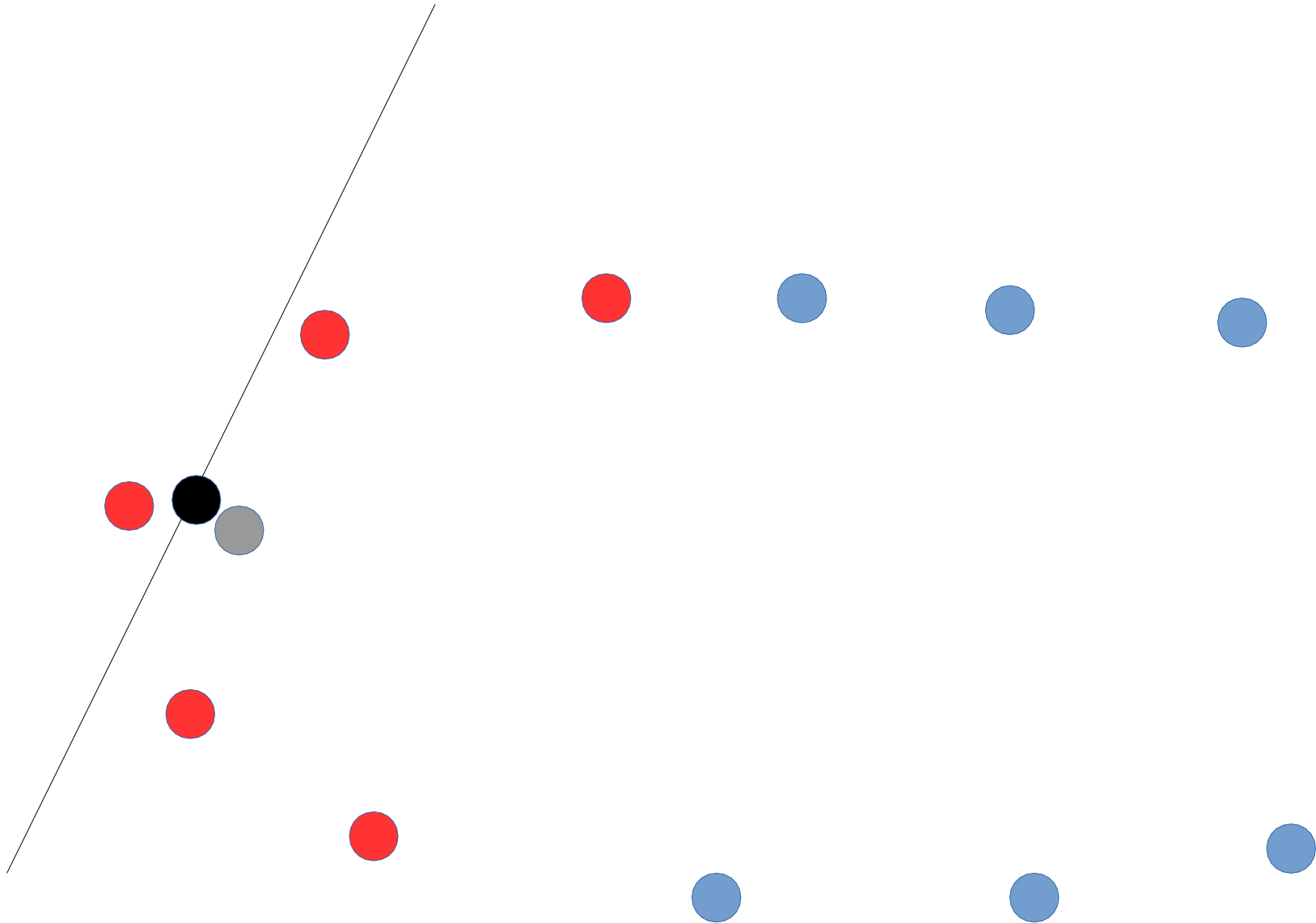




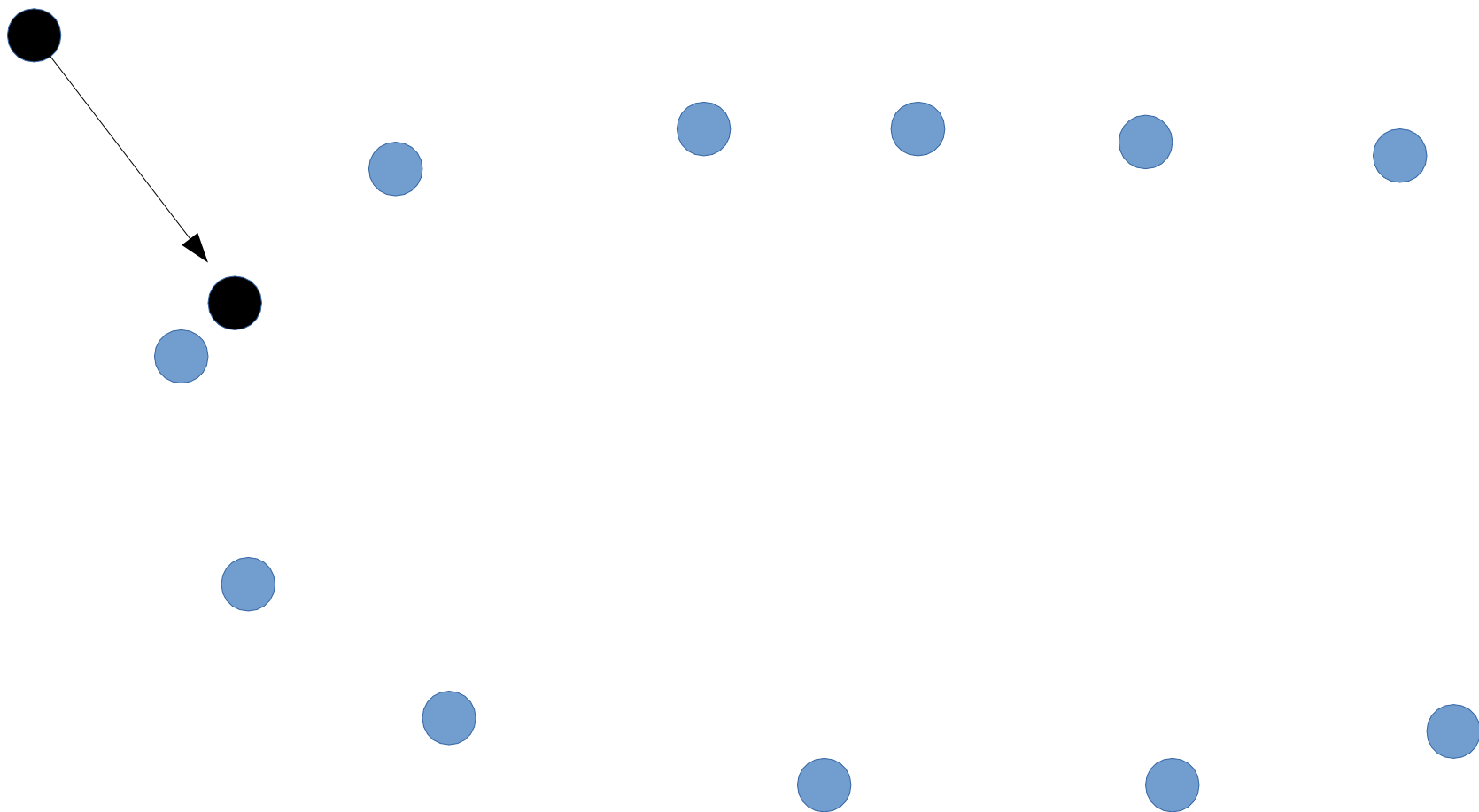
# « Moving Least Squares »



# « Moving Least Squares »



# « Moving Least Squares »



# « Moving Least Squares »

- A chaque itération  $k$ , on cherche les plus proches voisins, et on définit des poids vis à vis d'eux
- On trouve le plan qui passe au mieux par ces points (ACP pondérée)
 
$$\left\{ \begin{array}{l} c = \sum_{p_i \in NN(x)} w_i p_i / \sum_{p_i \in NN(x)} w_i \\ Cov = \sum_{p_i \in NN(x)} w_i (p_i - c) \cdot (p_i - c)^T \in \mathbb{R}^{3 \times 3} \end{array} \right. \quad n = eig_3(Cov)$$
- On projette sur ce plan 
$$x_{k+1} = c - \frac{(x_k - c)^T \cdot n}{\|n\|} n$$
- Appelé « Moving Least Squares » car les poids varient en fonction de la position du point au fil des itérations  $\{k\}$

$x$



# Définition des poids

$p_i$



$$w_i = \phi(\|x - p_i\|)$$

:Influence du point  
d'entrée sur  $x$

Gaussien :  $\phi(r) = e^{\frac{-r^2}{h^2}}$

Wendland :  $\phi(r) = \left(1 - \frac{r}{h}\right)^4 \cdot \left(1 + 4\frac{r}{h}\right)$

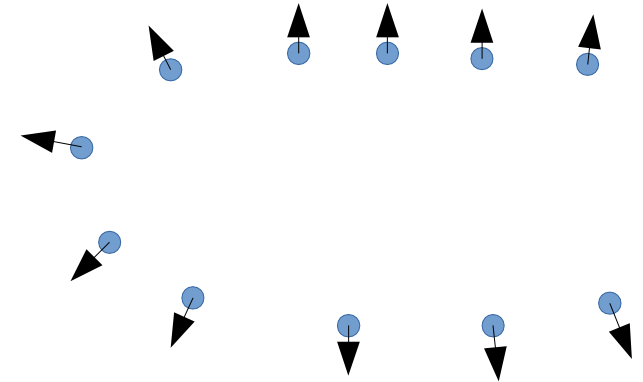
→ Surface approximant  
les points d'entrée

Singulier :  $\phi(r) = \left(\frac{h}{r}\right)^s$

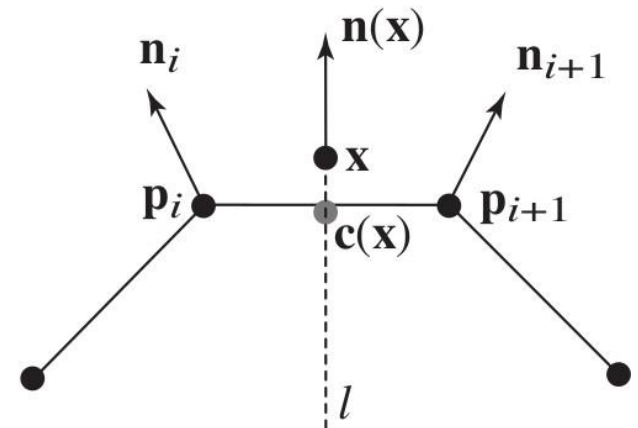
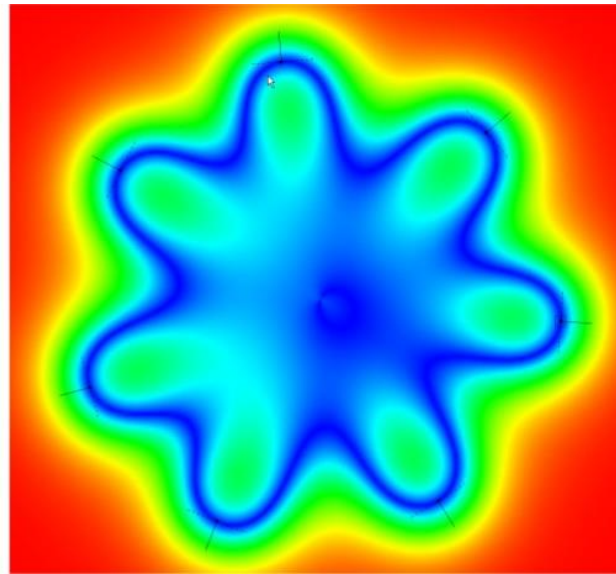
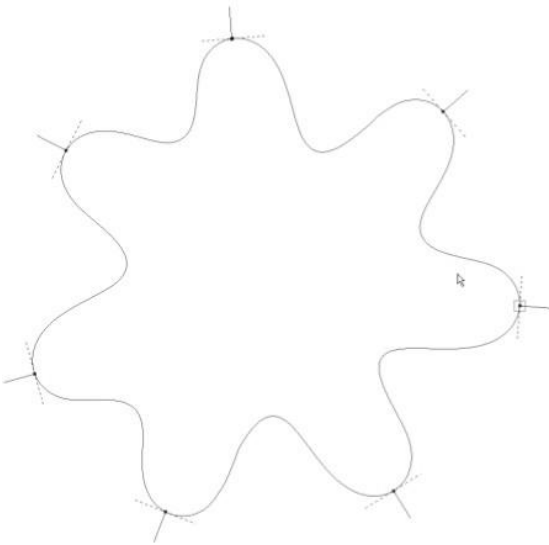
→ Surface interpolant  
les points d'entrée

# « Point set surfaces »

- Modernes définitions de surfaces de points considèrent que le nuage d'entrée doit être équipé de normales.
- On utilise 
$$\begin{cases} c(x) = \sum_{p_i \in NN(x)} w_i p_i / \sum_{p_i \in NN(x)} w_i \\ n(x) = \sum_{p_i \in NN(x)} w_i n_i / \sum_{p_i \in NN(x)} w_i \end{cases}$$
 a la place de la PCA.
- On peut définir une fonction implicite  $f(x) = (x - c(x))^T \cdot n(x)$  (la surface est alors le « 0-set » de cette fonction).
- Avec un noyau très singulier, on s'attend à pouvoir interpoler points ET normales.
- Ce schéma de PSS est généralement appelé SPSS (Simple Point Set Surface)

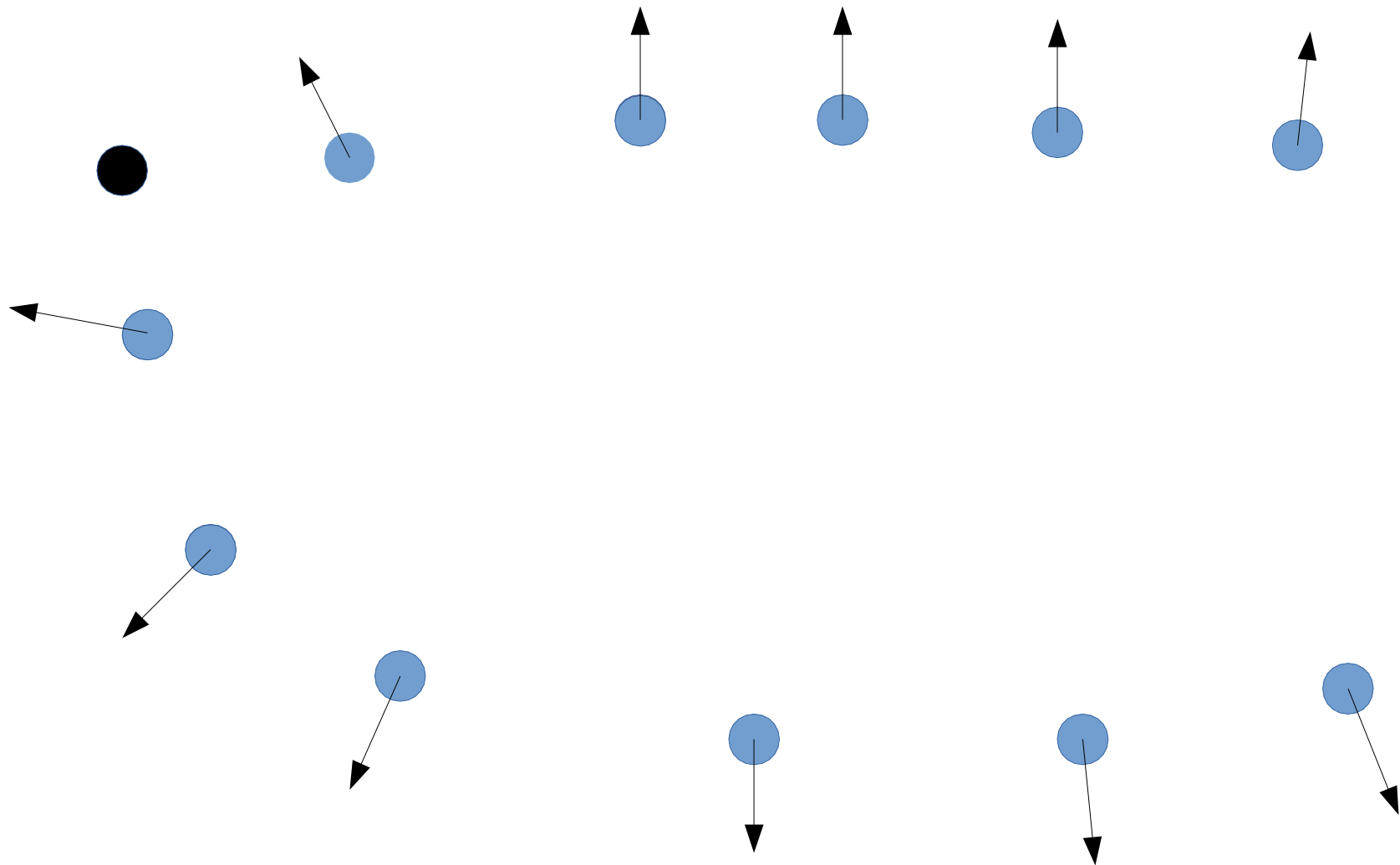


# « Point set surfaces » : problèmes du schéma standard



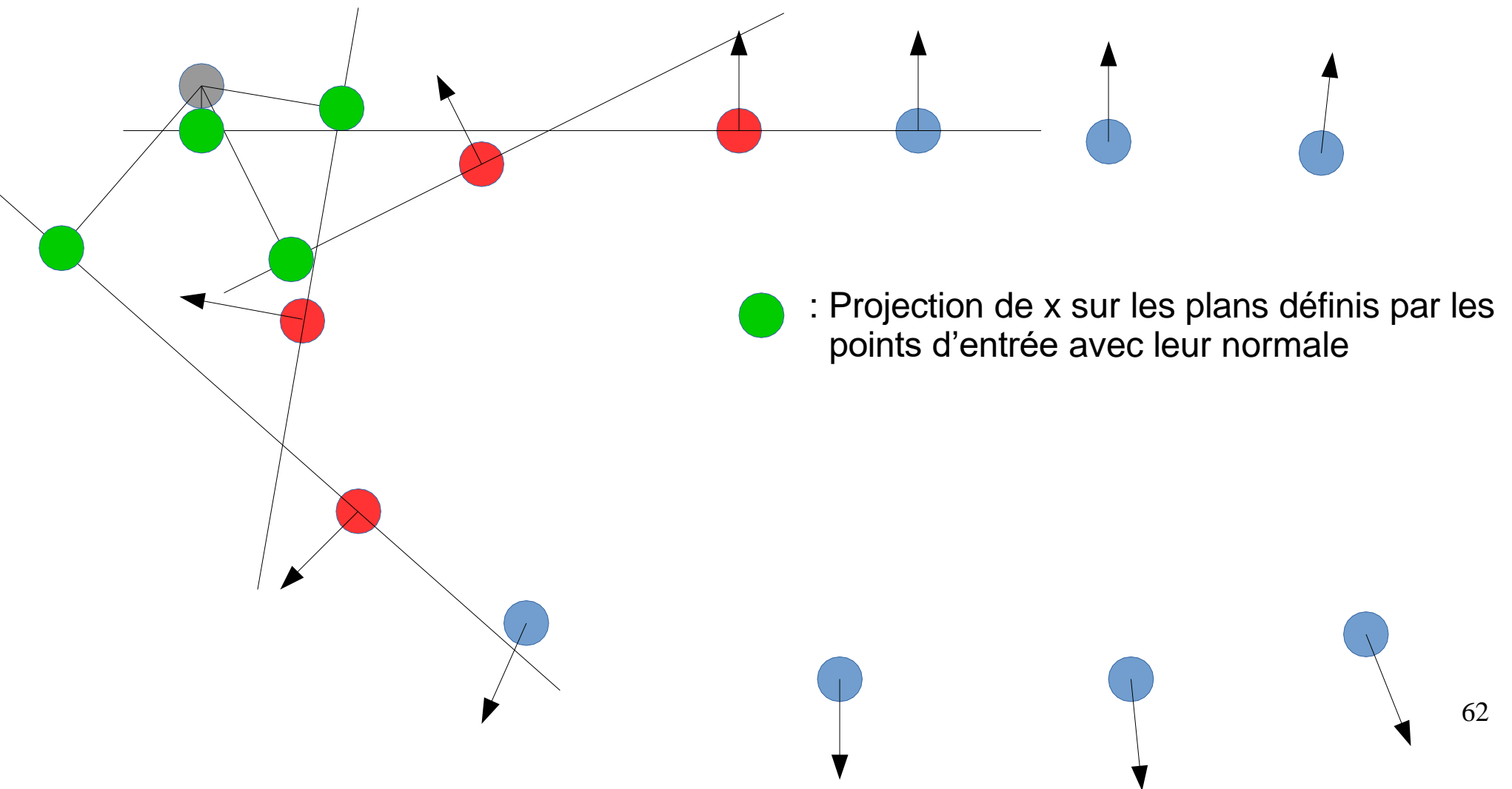
Impossible d'obtenir des surfaces interpolantes convexes.

# « Hermite point set surfaces »

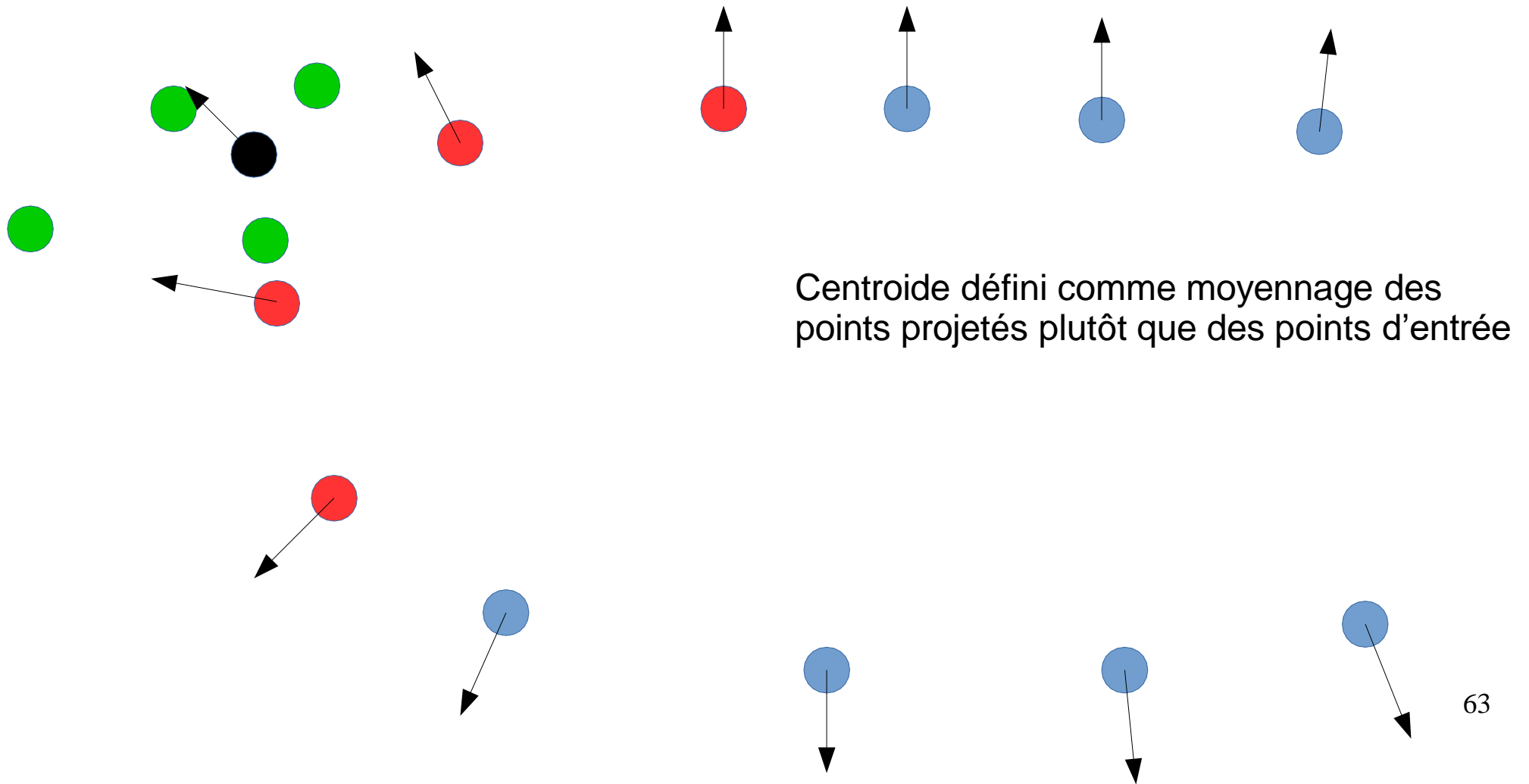




# « Hermite point set surfaces »



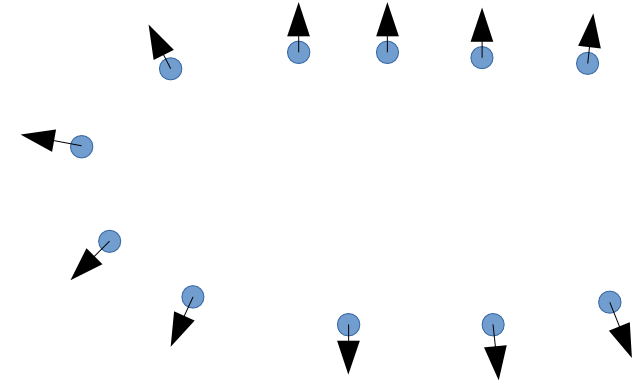
# « Hermite point set surfaces »



# « Hermite point set surfaces »

- On utilise

$$\left\{ \begin{array}{l} \tilde{p}_i(x) = x - ((x - p_i)^T \cdot n_i) n_i \\ c(x) = \sum_{p_i \in NN(x)} w_i \tilde{p}_i(x) / \sum_{p_i \in NN(x)} w_i \\ n(x) = \sum_{p_i \in NN(x)} w_i n_i / \sum_{p_i \in NN(x)} w_i \end{array} \right.$$



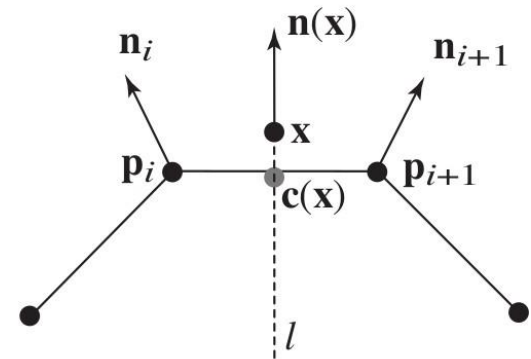
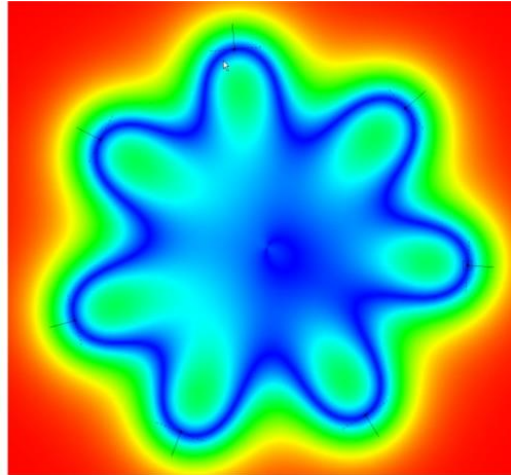
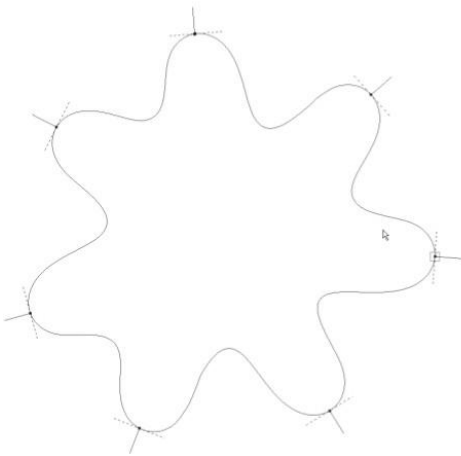
- Schémas populaires de projection itérative :

- Simple :  $x_{k+1} = \text{project}(x_k, (c(x_k), n(n_k)))$

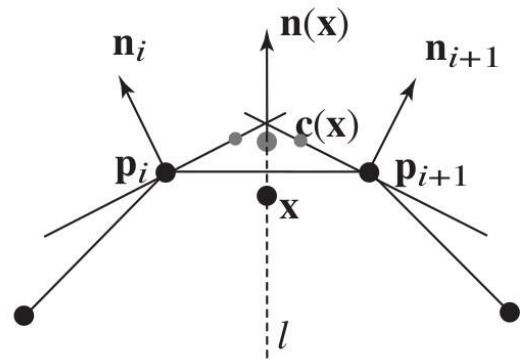
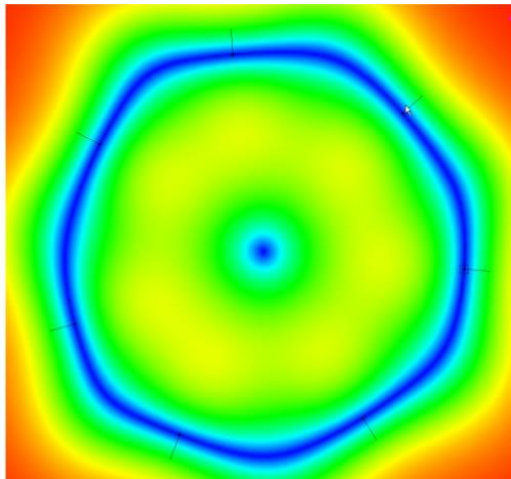
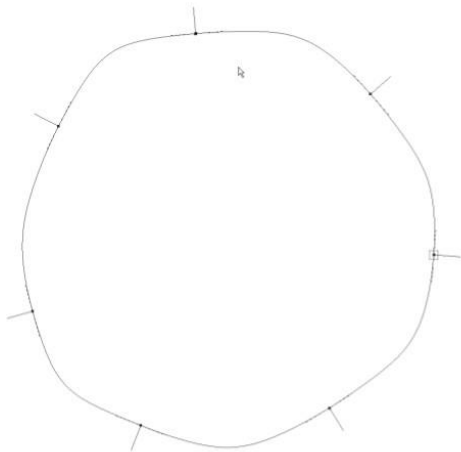
- « Presque orthogonal » :  $x_{k+1} = \text{project}(x, (c(x_k), n(n_k)))$

# « Hermite Point set surfaces »

**PSS**



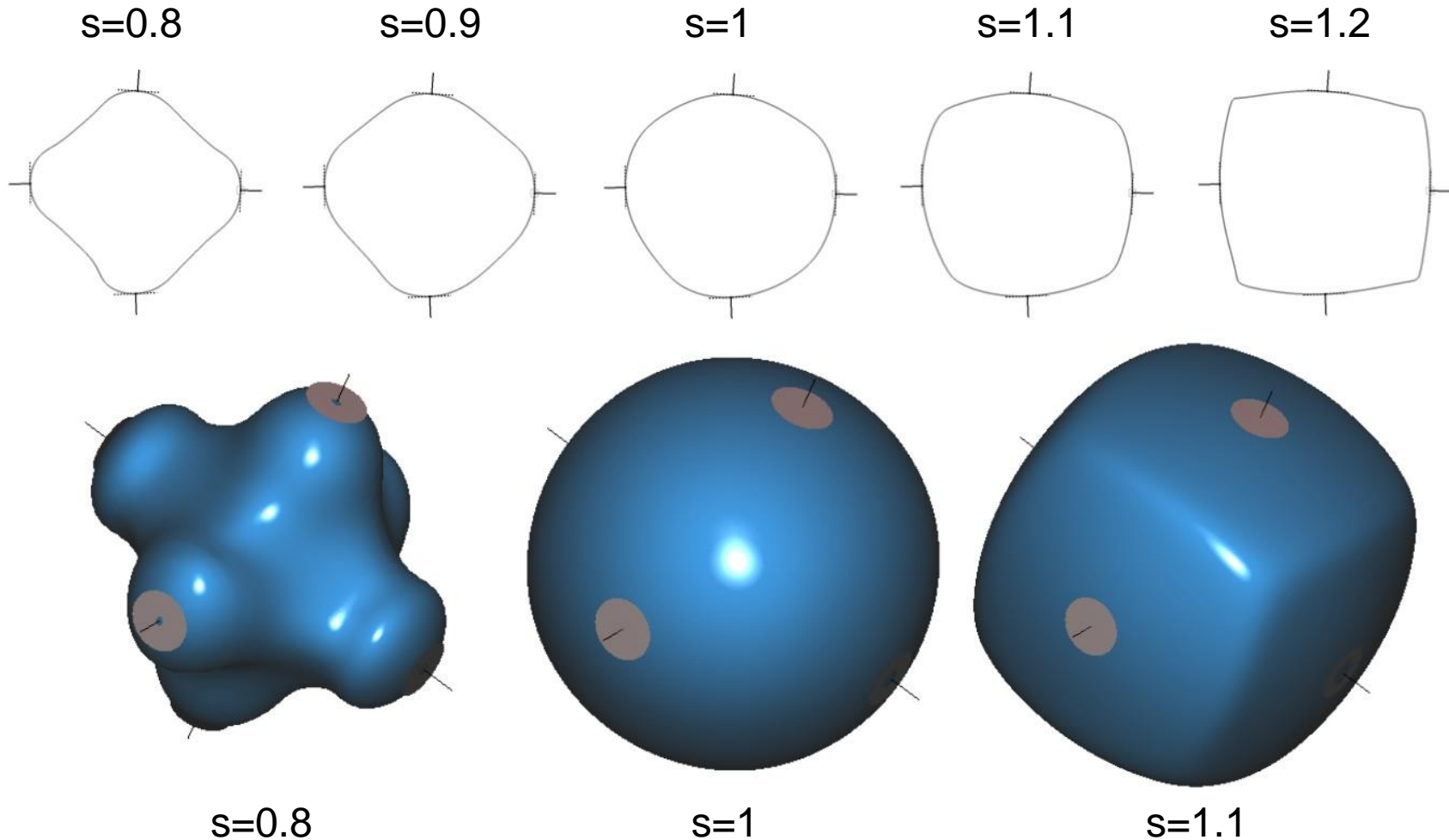
**HPSS**



$$f(x) = (x - c(x))^T \cdot n(x)$$

# « Hermite Point set surfaces »

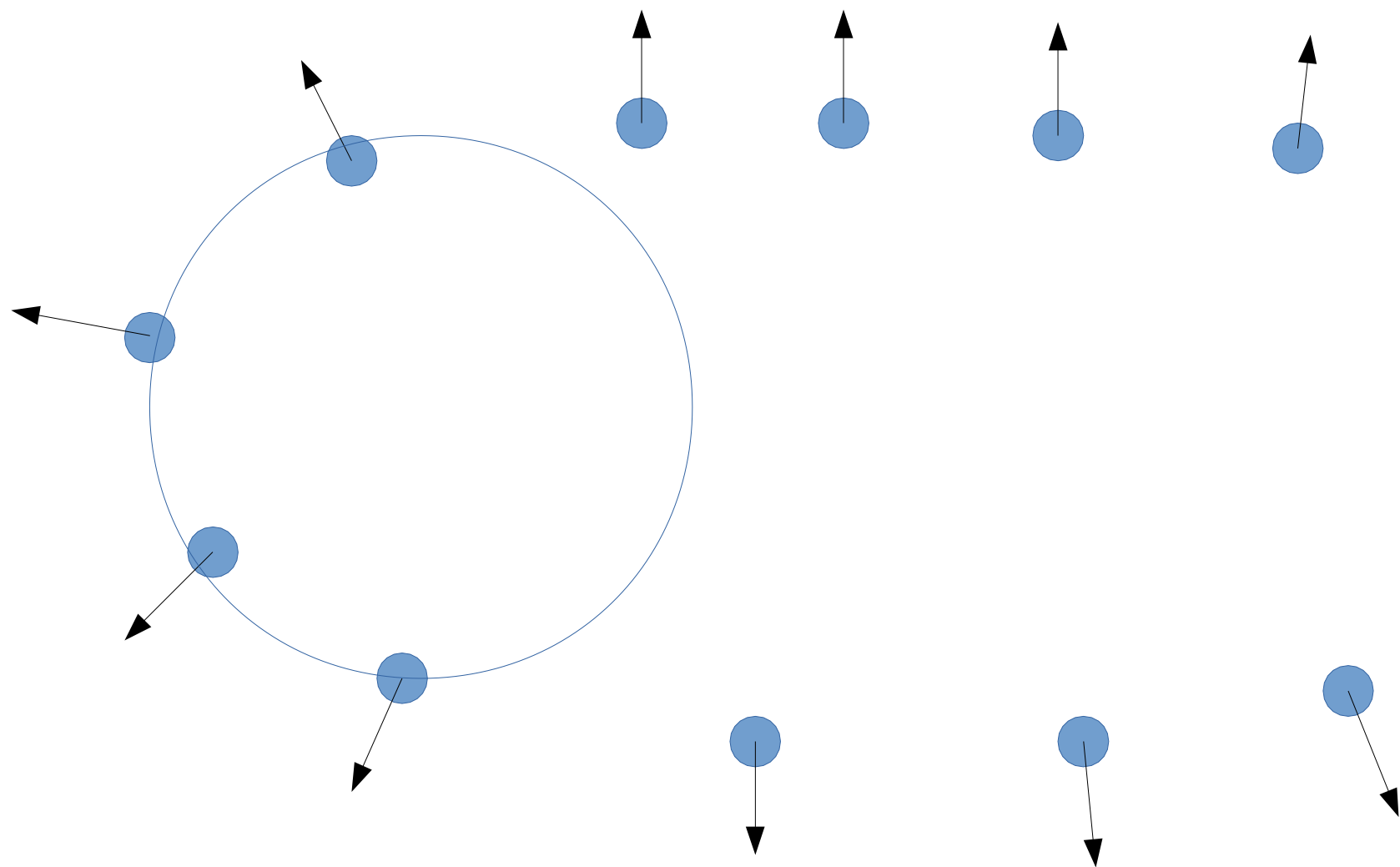
Extension :  $\tilde{p}_i(x, s) = s\tilde{p}_i(x) + (1-s)p_i$



# Questions ?

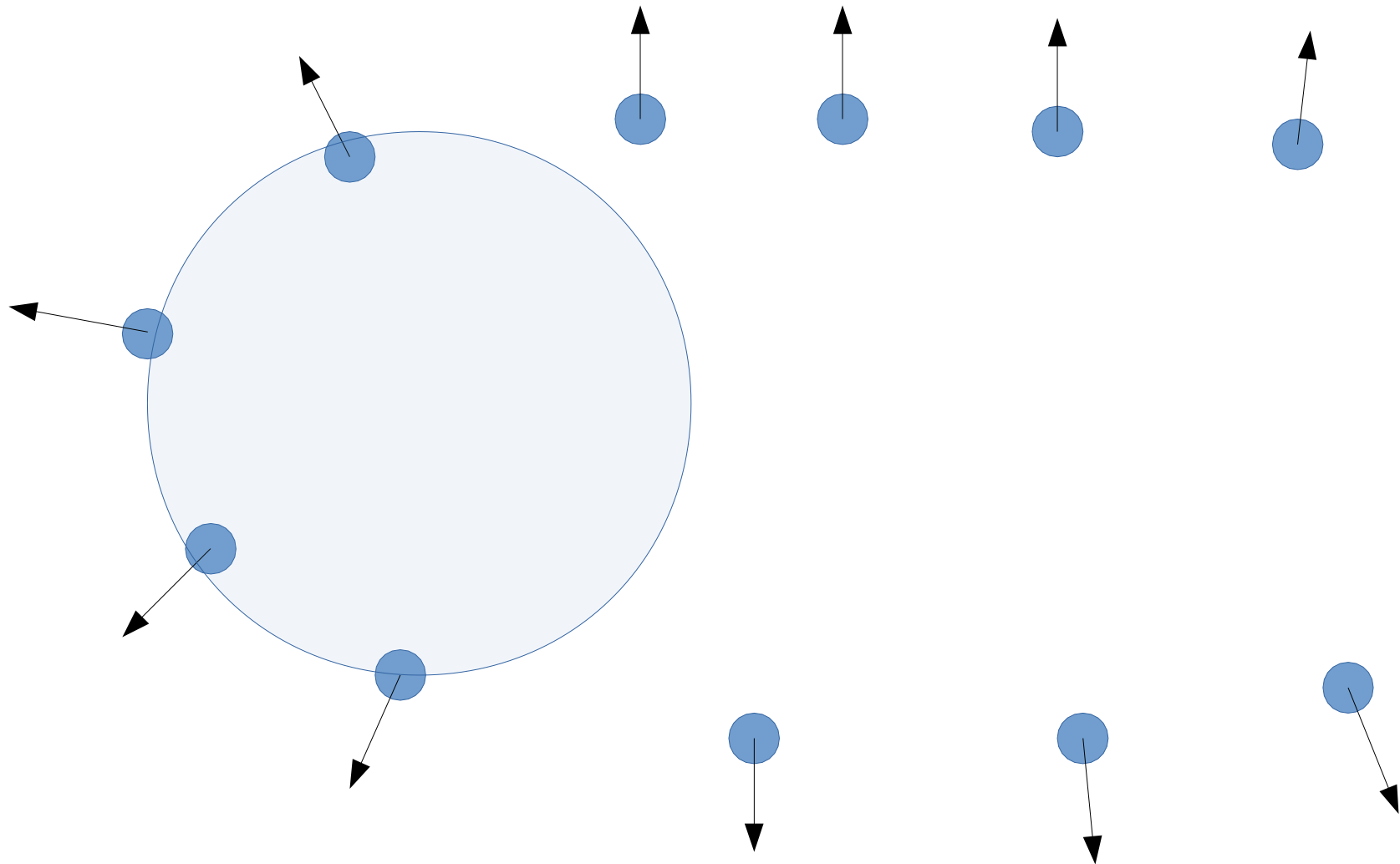


# Surface de points algébrique



# Surface de points algébrique

- Idée principale : projeter sur des sphères plutôt que des plans
- « Algébrique », car une sphère dégénère mal vers un plan (le centre est à l'infini...), mais **son équation algébrique dégénère continûment vers celle du plan...**





# Surface de points algébrique

- Idée principale : projeter sur des sphères plutôt que des plans
- « Algébrique », car une sphère dégénère mal vers un plan (le centre est à l'infini...), mais **son équation algébrique dégénère continûment vers celle du plan...**

$$\|X - c\|^2 - r^2 = 0$$

Eq standard d'une sphère

$$(1, X^T, \|X\|^2) \cdot (u_0, u_1, u_2, u_3, u_4)^T = 0$$

Eq générale d'une sphère algébrique

$$1 + \frac{n^T}{d} \cdot X = 0$$

Eq standard d'un plan

# Surface de points algébrique

$$(1, X^T, \|X\|^2) \cdot (u_0, u_1, u_2, u_3, u_4)^T = f(X) \quad \text{Eq générale d'une sphère algébrique}$$

$$f(X) = 0 \quad \text{Points sur la sphère}$$

$$\nabla f(X) \quad \text{Normale sur la sphère}$$

---

# Surface de points algébrique

$$(1, X^T, \|X\|^2) \cdot (u_0, u_1, u_2, u_3, u_4)^T = f(X) \quad \text{Eq générale d'une sphère algébrique}$$

$$f(X) = 0 \quad \text{Points sur la sphère}$$

$$\nabla f(X) \quad \text{Normale sur la sphère}$$

---

Fitting en deux temps d'une sphère a un ensemble de points :  $\{w_i, p_i, n_i\}$

1) Minimiser  $\sum_i w_i \|\nabla f(p_i) - n_i\|^2$  (cela définit  $u_1, u_2, u_3, u_4$ )

2) Minimiser  $\sum_i w_i (f(p_i))^2$  (cela définit  $u_0$ )

Stratégie adoptée par :

**[Guennebaud et al. 2008]** *Dynamic Sampling and Rendering of APSS*

# Minimiser l'équation normale

1) Minimiser  $\sum_i w_i \|\nabla f(p_i) - n_i\|^2$  (cela définit  $u_1, u_2, u_3, u_4$ )

$$f(X) = (1, X^T, \|X\|^2) \cdot (u_0, u_1, u_2, u_3, u_4)^T \longrightarrow \nabla f(X) = \begin{pmatrix} u_1 \\ u_2 \\ u_3 \end{pmatrix} + 2u_4 X = (I_3 | 2X) \cdot \begin{pmatrix} u_1 \\ u_2 \\ u_3 \\ u_4 \end{pmatrix}$$

Ou  $\sum_i w_i \|\nabla f(p_i) - n_i\|^2 = \sum_i w_i \nabla f(p_i)^T \cdot \nabla f(p_i) - 2 \sum_i w_i \nabla f(p_i)^T \cdot n_i + \text{const}$

$\longrightarrow$  Minimiser  $\sum_i w_i \nabla f(p_i)^T \cdot \nabla f(p_i) - 2 \sum_i w_i \nabla f(p_i)^T \cdot n_i$

qui vaut  $U^T \cdot \left( \sum_i w_i (I_3, 2p_i)^T \cdot (I_3, 2p_i) \right) \cdot U - 2 \left( \sum_i w_i (I_3, 2p_i)^T \cdot n_i \right)^T \cdot U$

# Minimiser l'équation de position

1) Minimiser  $\sum_i w_i (f(p_i))^2$  (cela définit  $u_0$ )

$$f(X) = (1, X^T, \|X\|^2) \cdot (u_0, u_1, u_2, u_3, u_4)^T$$

$$f(p_i) = u_0 - (p_i^T, \|p_i\|^2) \cdot (u_1, u_2, u_3, u_4)^T$$

—► Simple moyennage barycentrique

# Solution exacte

$$w_j \leftarrow \frac{w_j}{\sum_i w_i} \quad (\text{normalisation des poids})$$

$$u_4 = \frac{1}{2} \frac{(\sum_i w_i p_i^T \cdot n_i) - (\sum_i w_i p_i)^T \cdot (\sum_j w_j n_j)}{(\sum_i w_i p_i^T \cdot p_i) - (\sum_i w_i p_i)^T \cdot (\sum_j w_j p_j)}$$

$$\begin{bmatrix} u_1 \\ u_2 \\ u_3 \end{bmatrix} = \sum_i w_i (n_i - 2u_4 p_i)$$

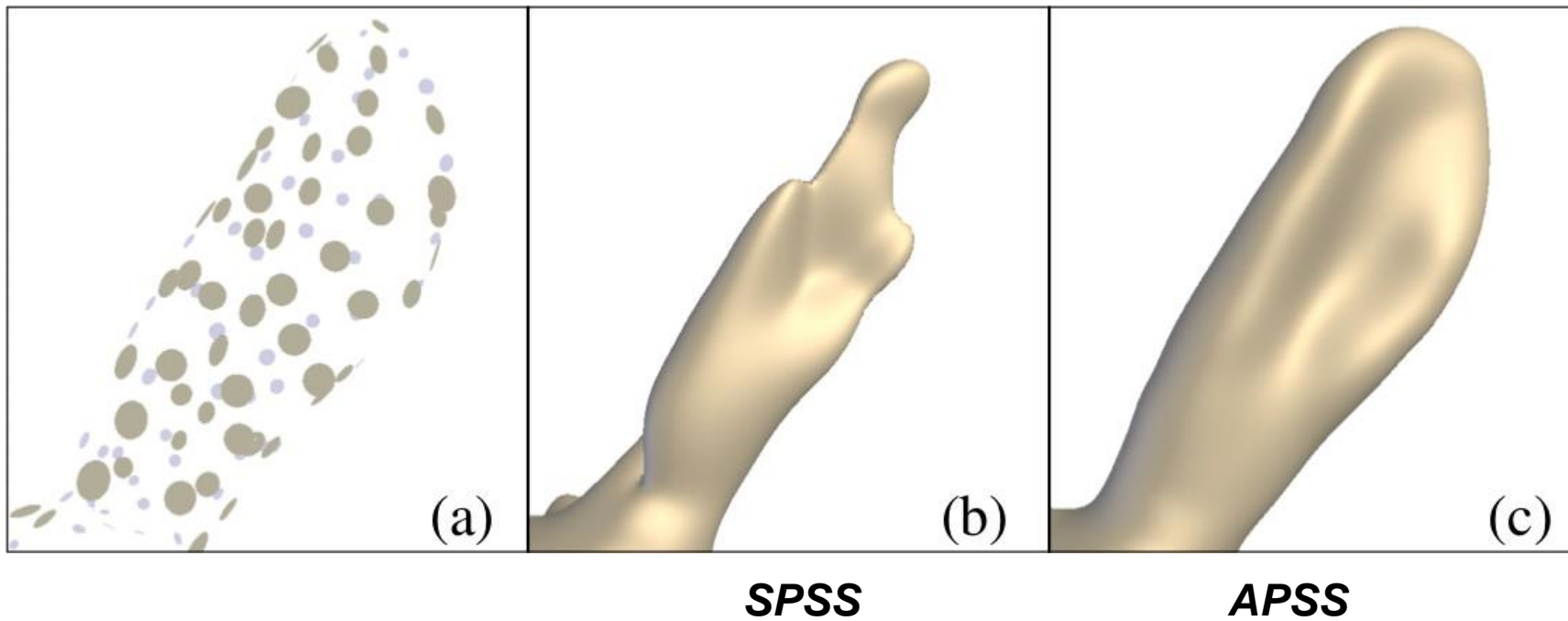
$$u_0 = - \sum_i w_i ([u_1 \ u_2 \ u_3] + u_4 p_i)^T \cdot p_i$$

# Surface de points algébrique

## Note :

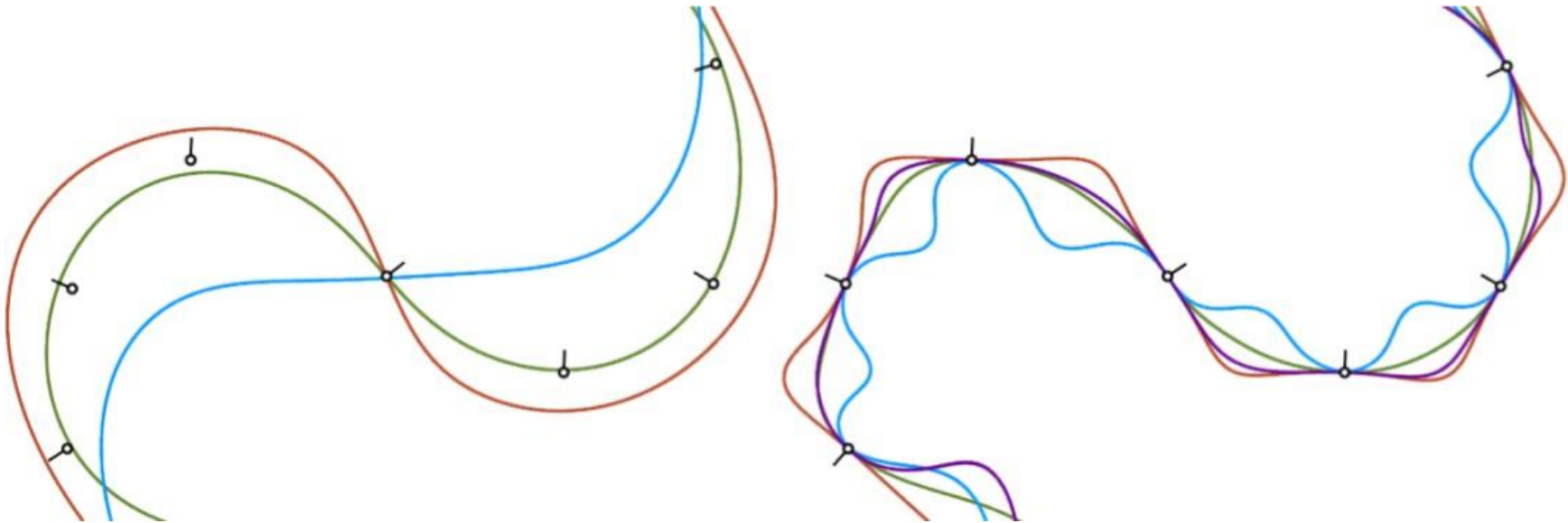
- Si on force  $u_4 = 0$ , on cherche le meilleur plan défini par les points les plus proches de  $x$ , avant de projeter  $x$  dessus.
- On retrouve dans ce cas là le modèle SPSS (qui est moins bon que HPSS...)
- $\rightarrow$  APSS étend le modèle SPSS (d'une autre manière que HPSS)

# Surface de points algébrique





# Surface de points algébrique



*SPSS*

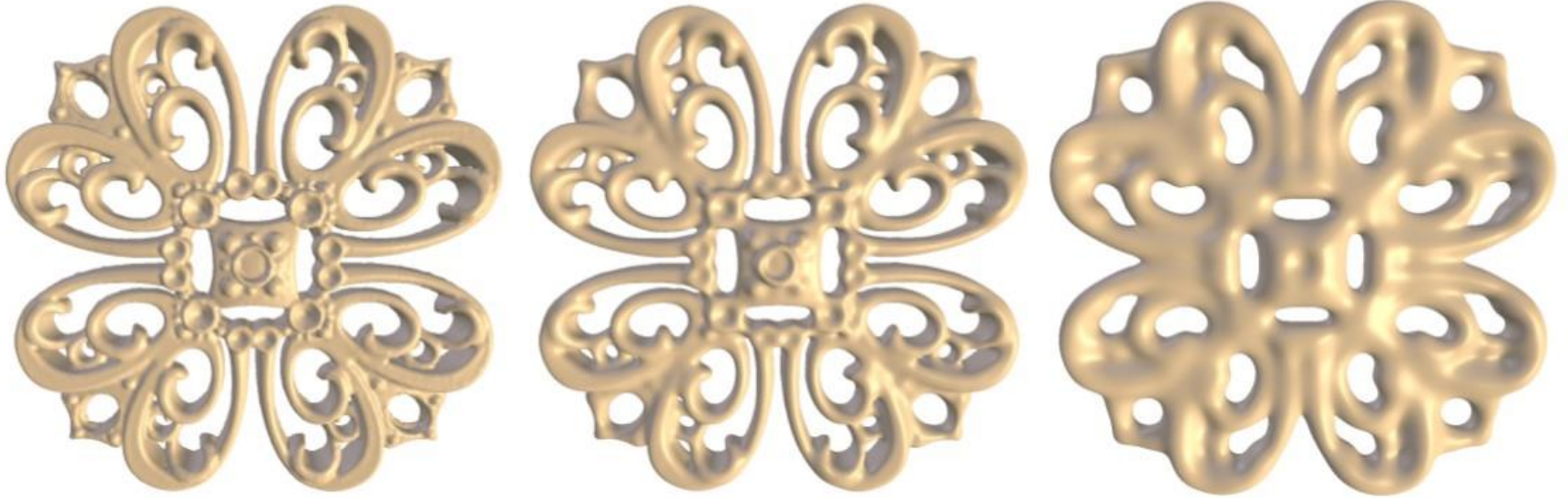
*IMLS*

*HPSS*

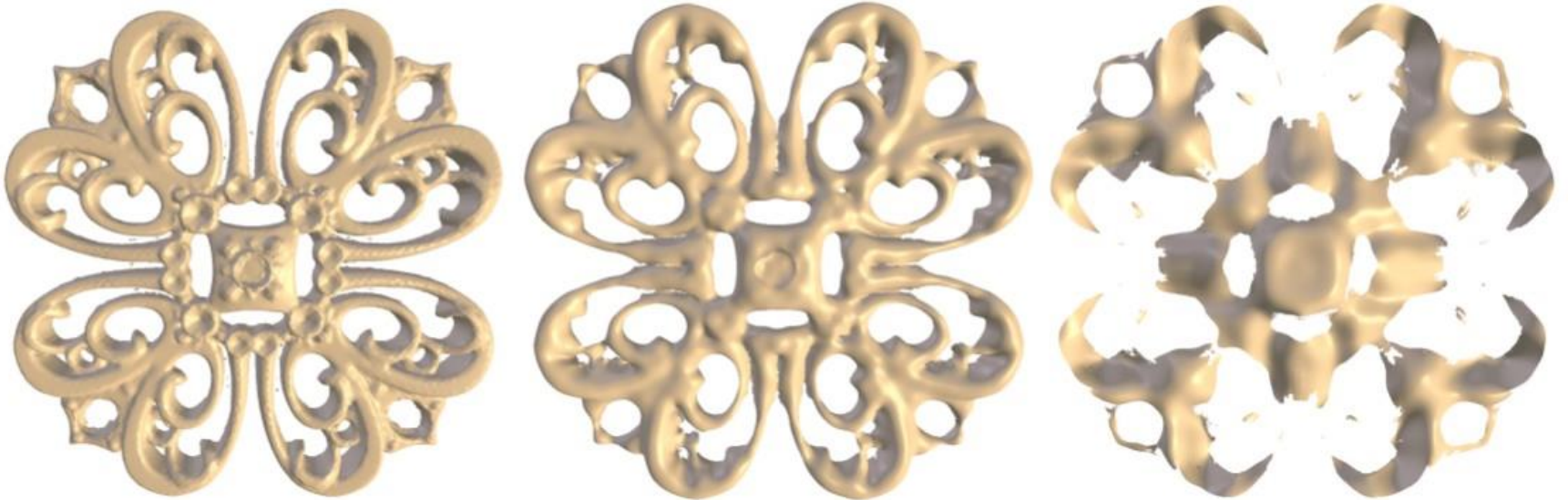
*APSS*

# Taille du noyau approximant variant

**APSS**



**SPSS**



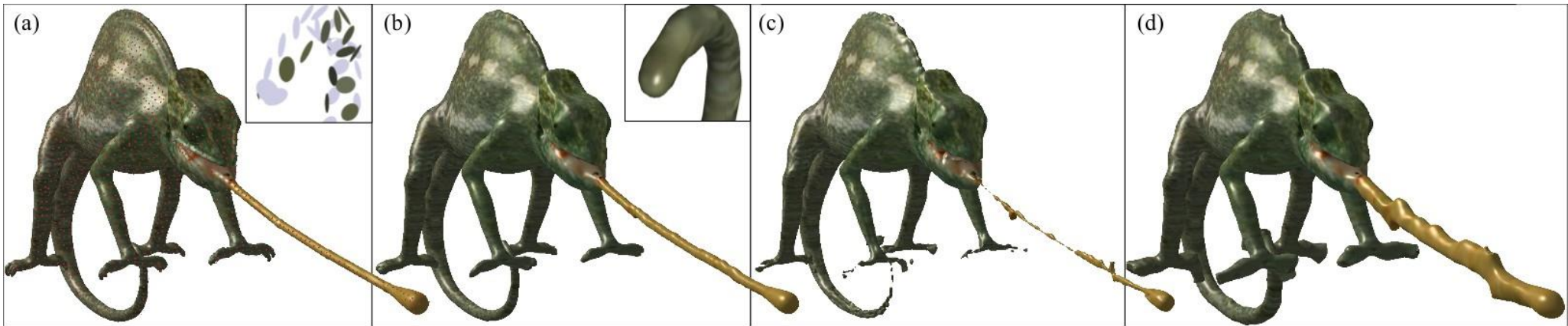
# Comparaison

***Downsampling***

***APSS***

***SPSS***

***IMLS***



# Édition de courbure

$$u_4 = \beta \frac{1}{2} \frac{(\sum_i w_i p_i^T \cdot n_i) - (\sum_i w_i p_i)^T \cdot (\sum_j w_j n_j) / (\sum_k w_k)}{(\sum_i w_i p_i^T \cdot p_i) - (\sum_i w_i p_i)^T \cdot (\sum_j w_j p_j) / (\sum_k w_k)}$$

$$\begin{bmatrix} u_1 \\ u_2 \\ u_3 \end{bmatrix} = \frac{\sum_i w_i (n_i - 2u_4 p_i)}{\sum_i w_i}$$

$$u_0 = \frac{-\sum_i w_i ([u_1 u_2 u_3] + p_i)^T \cdot p_i}{\sum_i w_i}$$



$\beta=8$

$\beta=1$



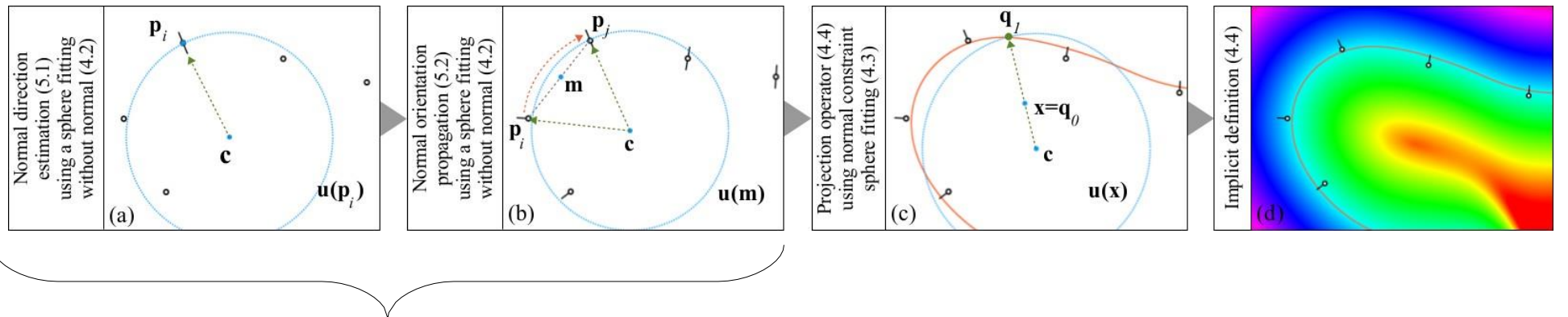
$\beta=1$

$\beta=-4.5$



# Estimation des normales et fonction implicite

$$f(X) = (1, X^T, \|X\|^2) \cdot U(X)$$



Pour les nuages non-orientés, les auteurs proposent de fitter des sphères aux points sans les normales, de définir la normale ainsi, et de propager l'orientation (distinction des zones convexes et concaves)

# Questions ?

